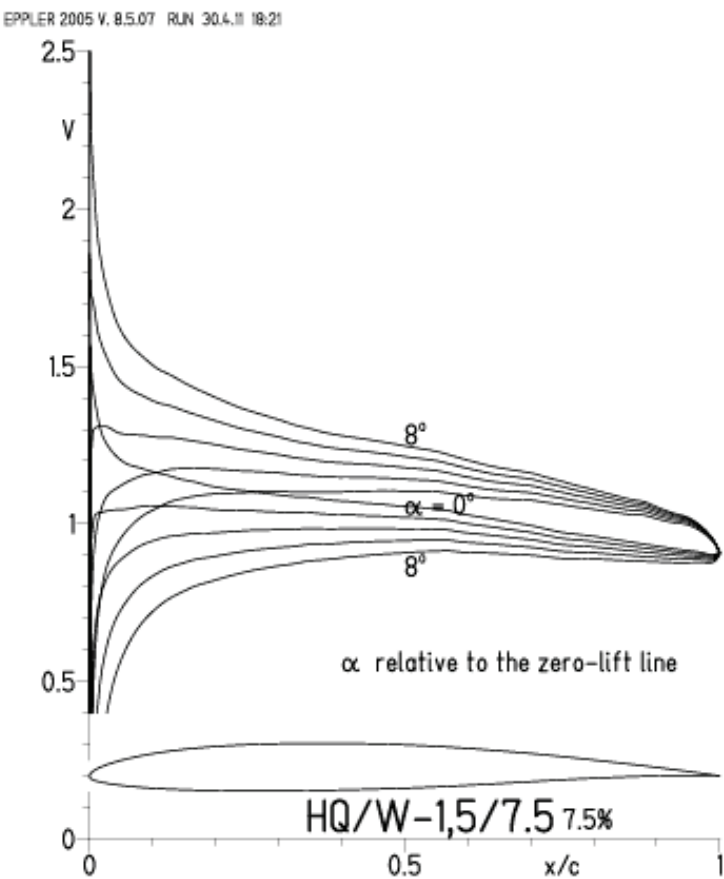
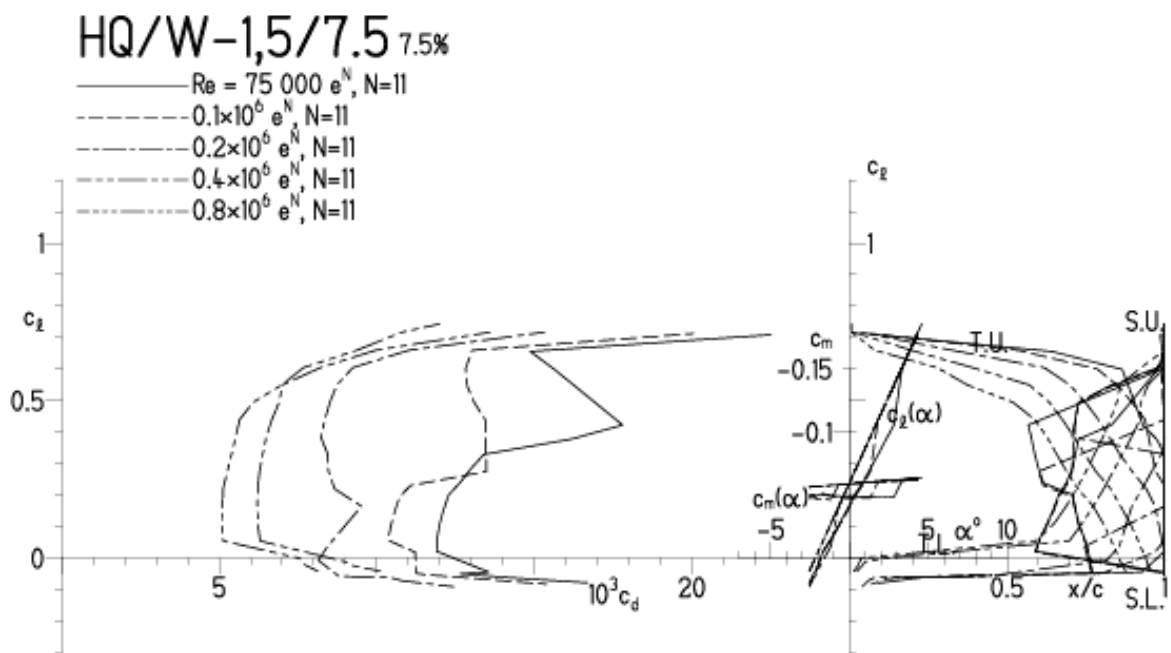


HQ/W-1,5/7,5, N=11

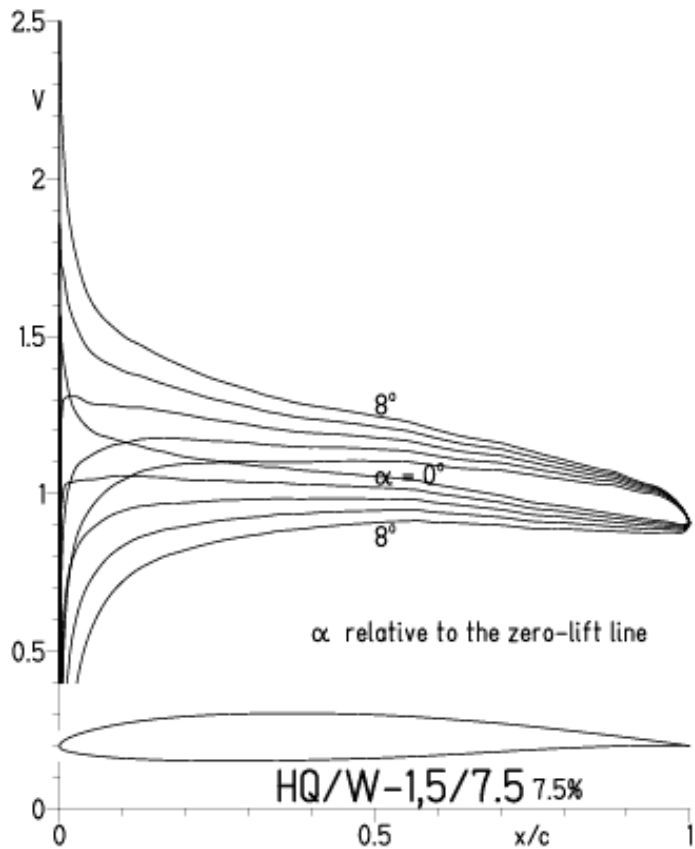


EPPLER 2005 V. 8.5.07 RUN 304.II 18:21

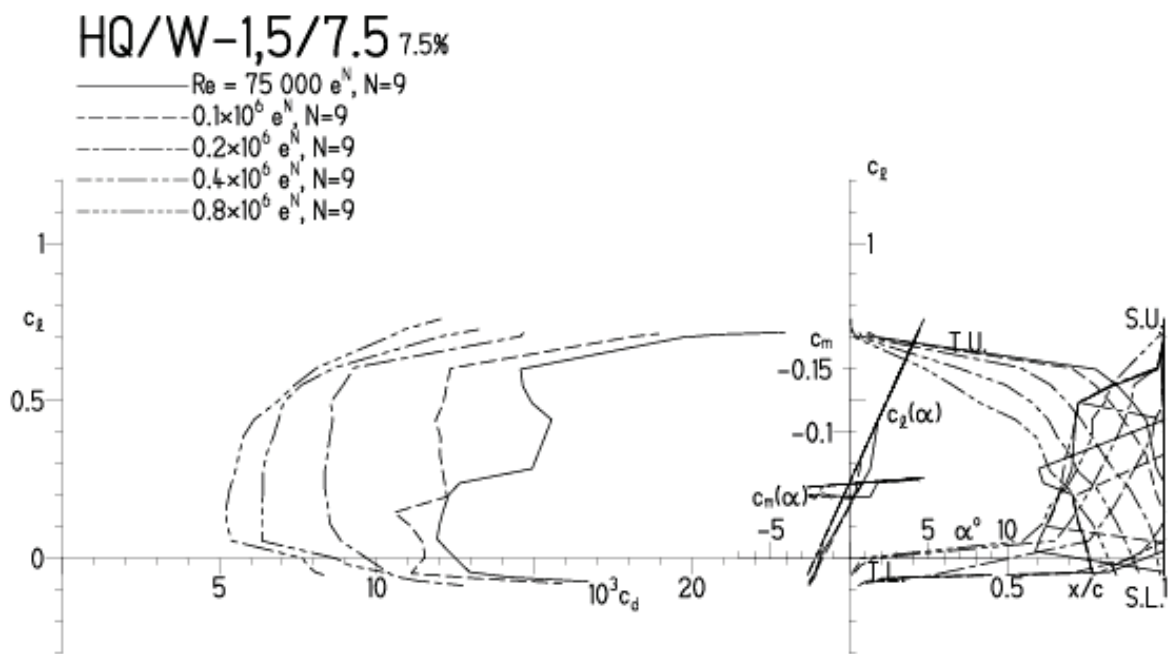


HQ/W-1,5/7,5, N=9

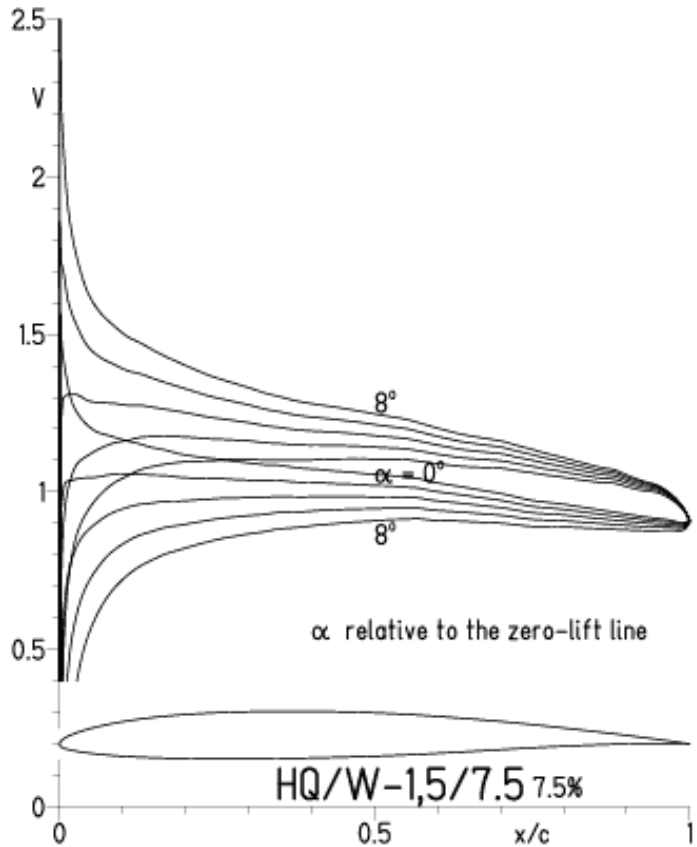
EPPLER 2005 V. 8.5.07 RUN 30.4.II 18:24



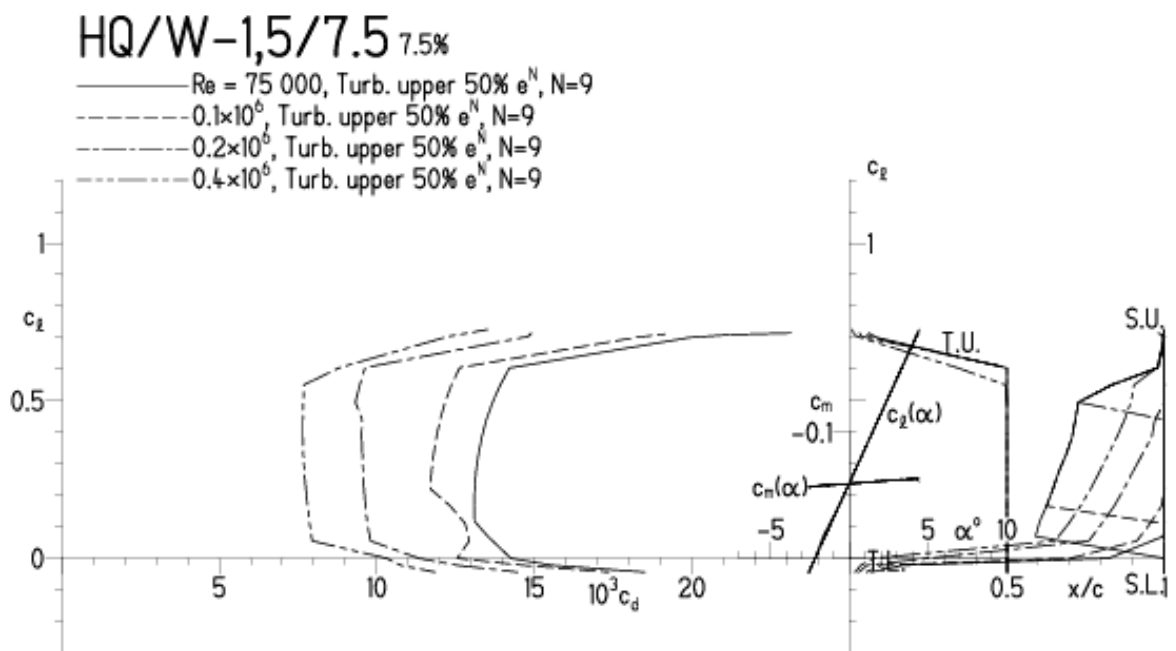
EPPLER 2005 V. 8.5.07 RUN 30.4.II 18:24

HQ/W-1,5/7,5, N=9, Turbulatoreffekt (optimal beim Maximum der Wölbung)

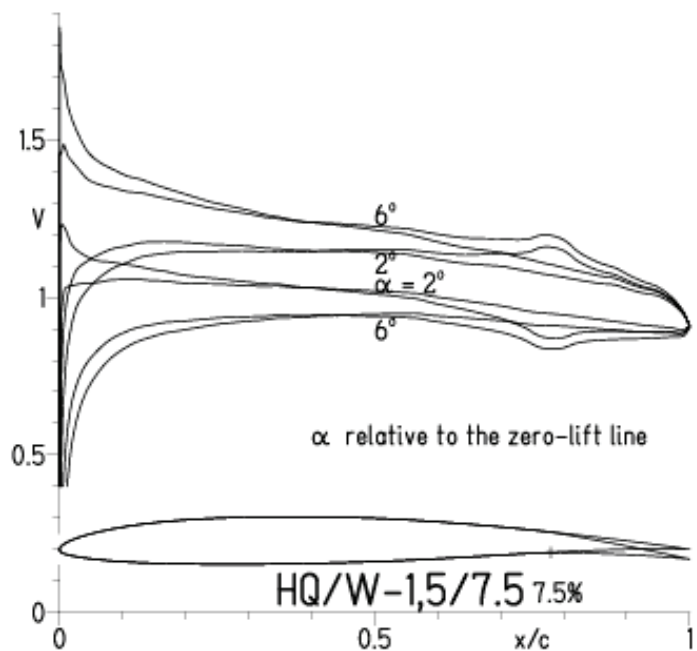
EPPLER 2005 V. 8.5.07 RUN 30.4.II 18:26



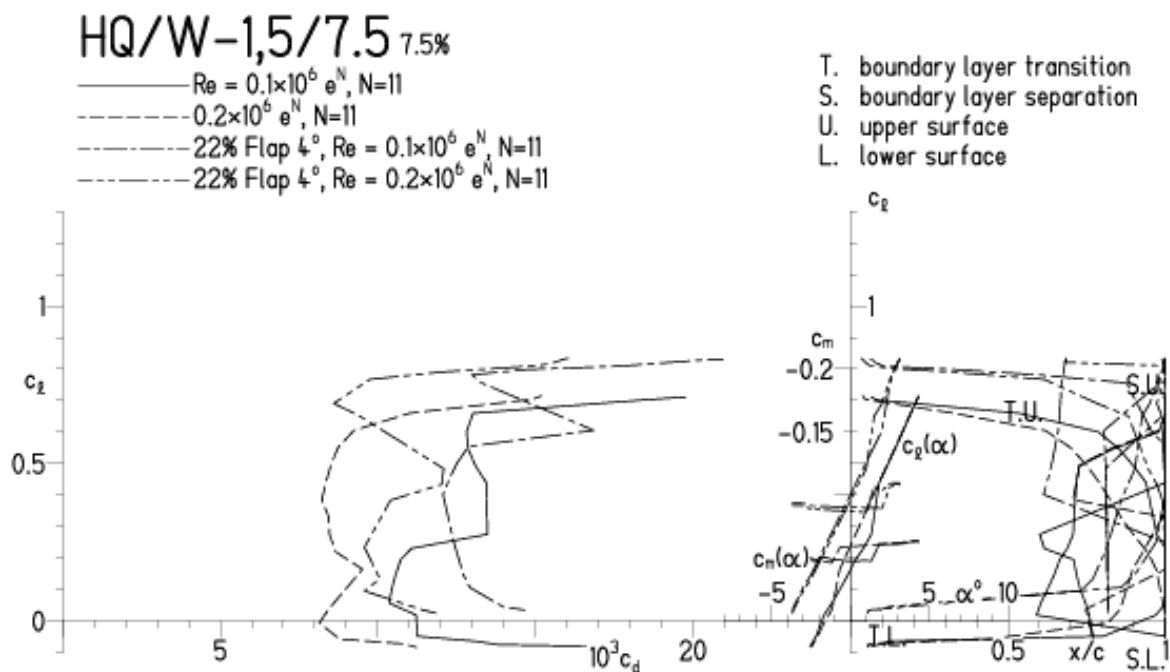
EPPLER 2005 V. 8.5.07 RUN 30.4.II 18:26

HQ/W-1,5/7,5, N=11, mit +4° Wölbklappenausschlag

EPPLER 2005 V. 0.5.07 RUN 5.5.11 18:44

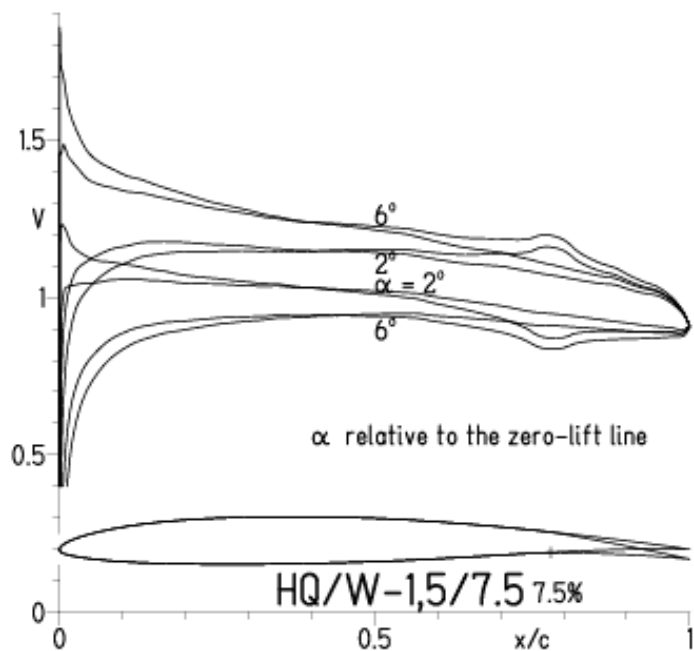


EPPLER 2005 V. 0.5.07 RUN 5.5.11 18:44

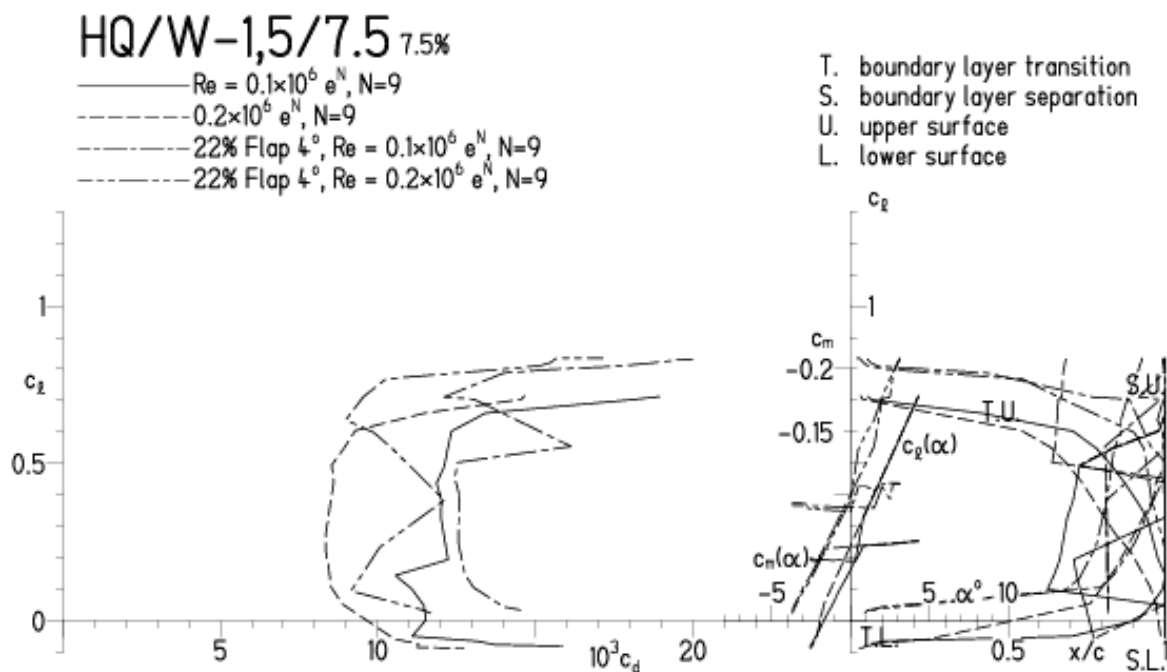


HQ/W-1.5/7.5, N=9, mit +4° Wölbklappenausschlag

EPPLER 2005 V. 0.5.07 RUN 5.5.11 18:48

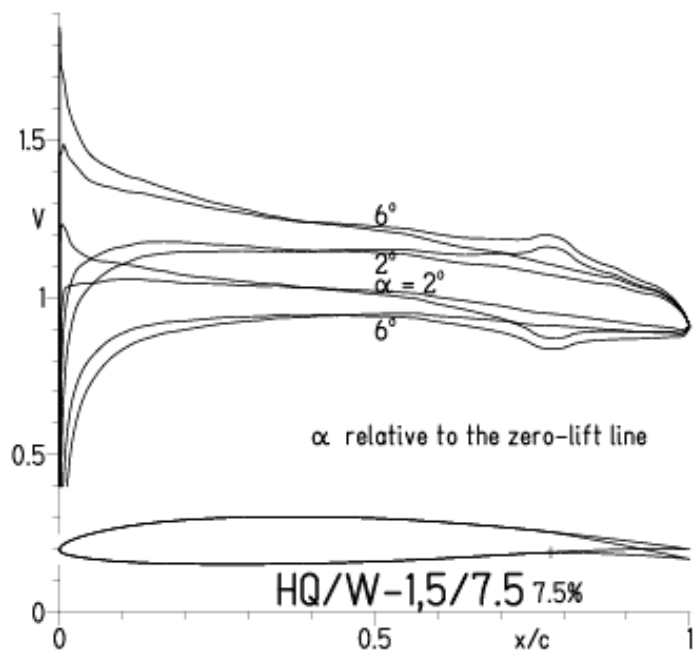


EPPLER 2005 V. 0.5.07 RUN 5.5.11 18:48

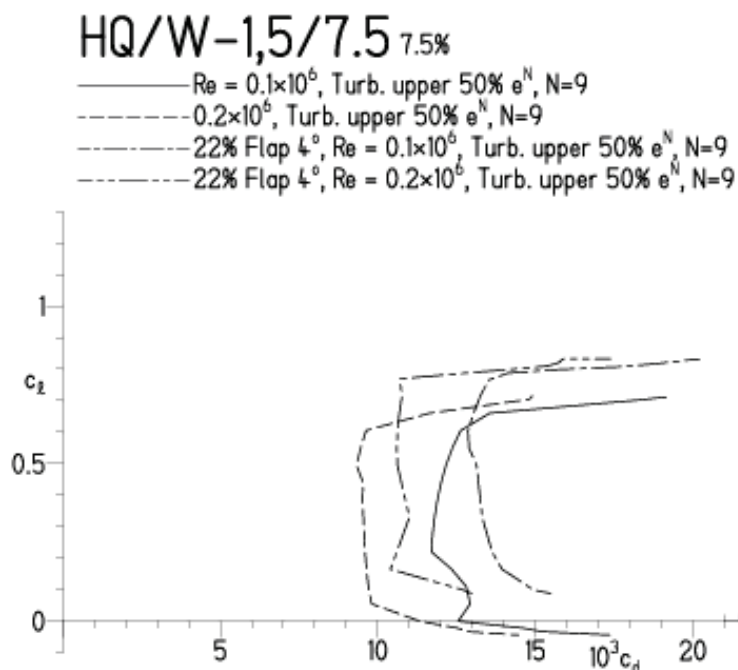


HQ/W-1.5/7.5, N=9, mit $+4^\circ$ Wölbklappenausschlag, Turbulatoreffekt
(Verbesserungen für niedrige Geschwindigkeiten und Profiltiefen an Flügelenden)

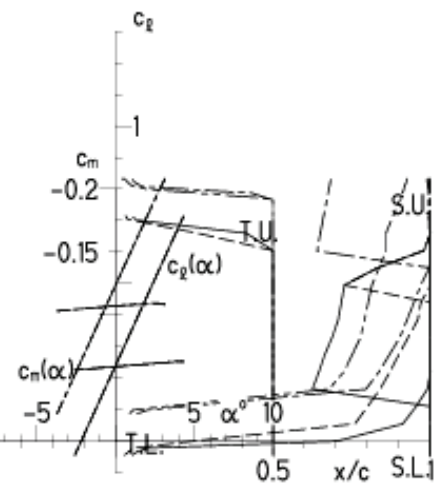
EPPLER 2005 V. 0.5.07 RUN 5.5.II 19:52



EPPLER 2005 V. 0.5.07 RUN 5.5.II 19:52

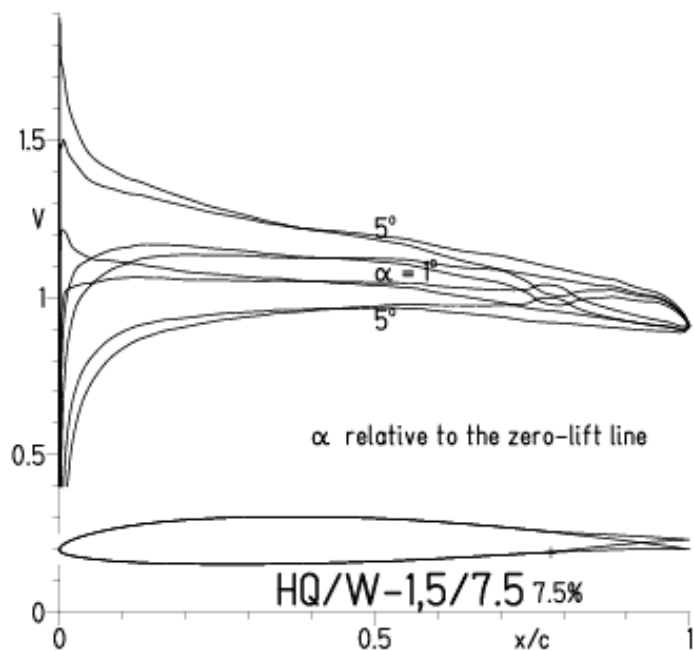


- T. boundary layer transition
- S. boundary layer separation
- U. upper surface
- L. lower surface

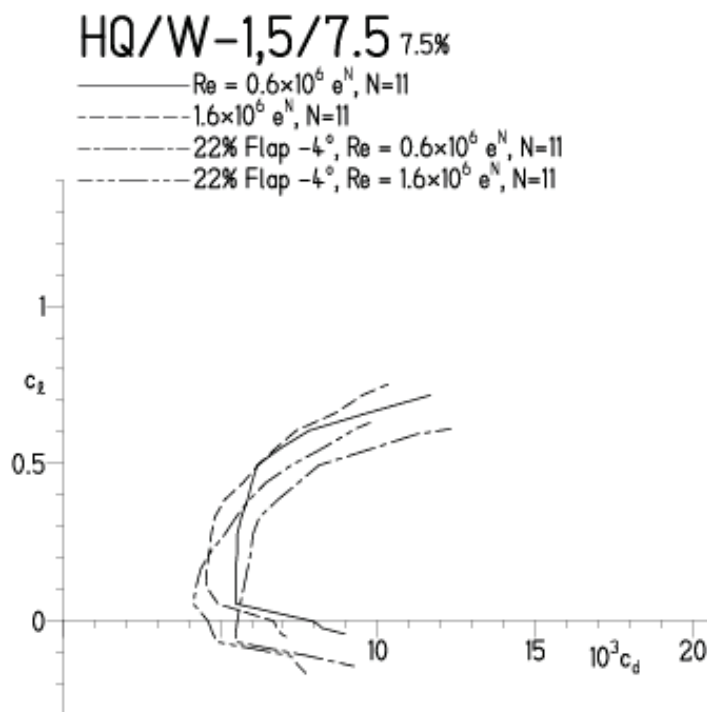


HQ/W-1.5/7.5, N=11, mit -4° Wölbklappenausschlag
 (Segelmodelle mit $> 50 \text{ g/dm}^2$ erreichen damit sicher über 300 km/h
 Höchstgeschwindigkeit)

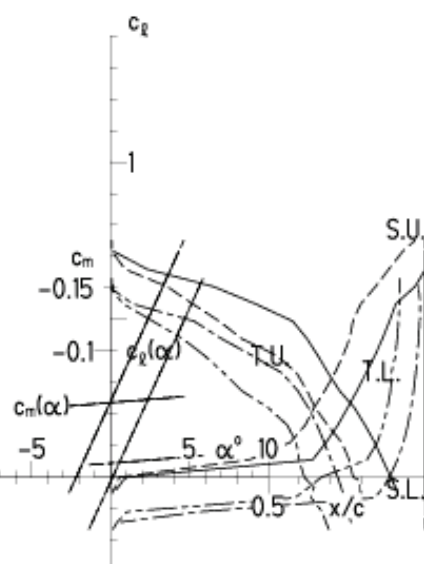
EPPLER 2005 V. 0.5.07 RUN 5.5.11 19:58



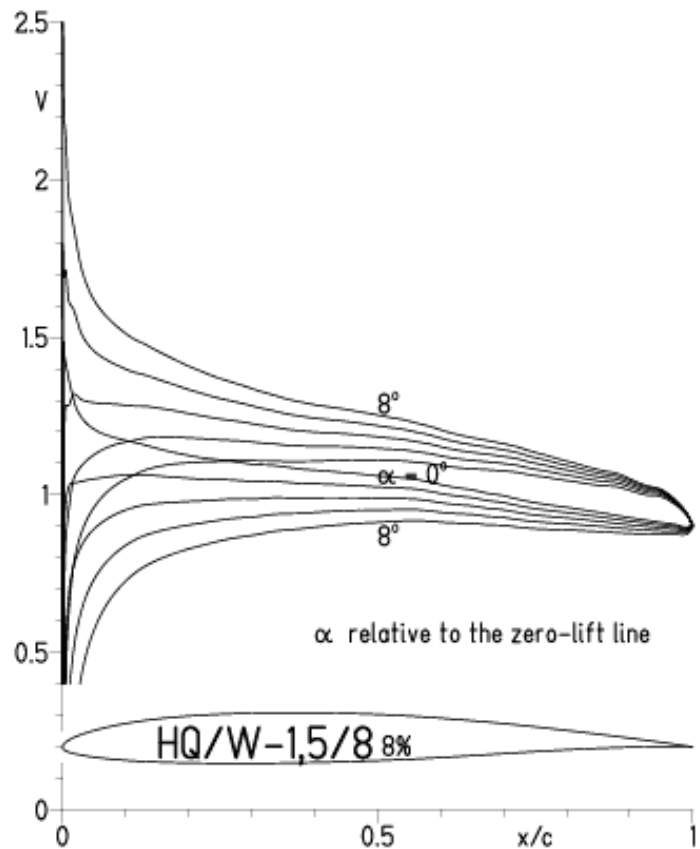
EPPLER 2005 V. 0.5.07 RUN 5.5.11 19:58



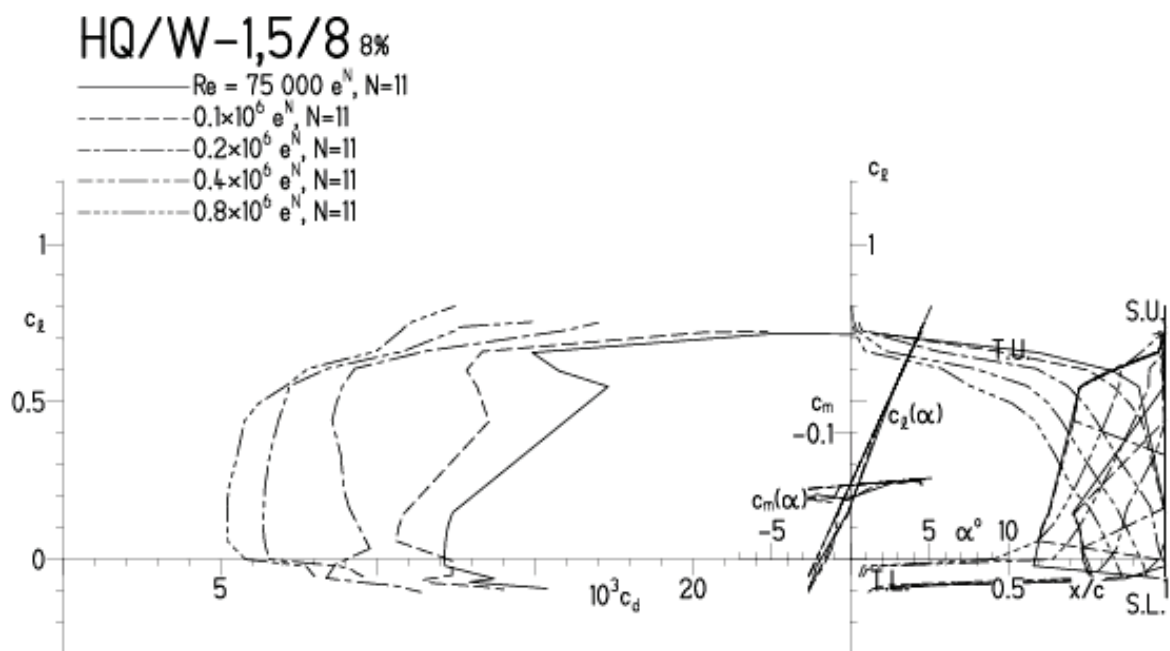
- T. boundary layer transition
- S. boundary layer separation
- U. upper surface
- L. lower surface

HQ/W-1.5/8, N=11

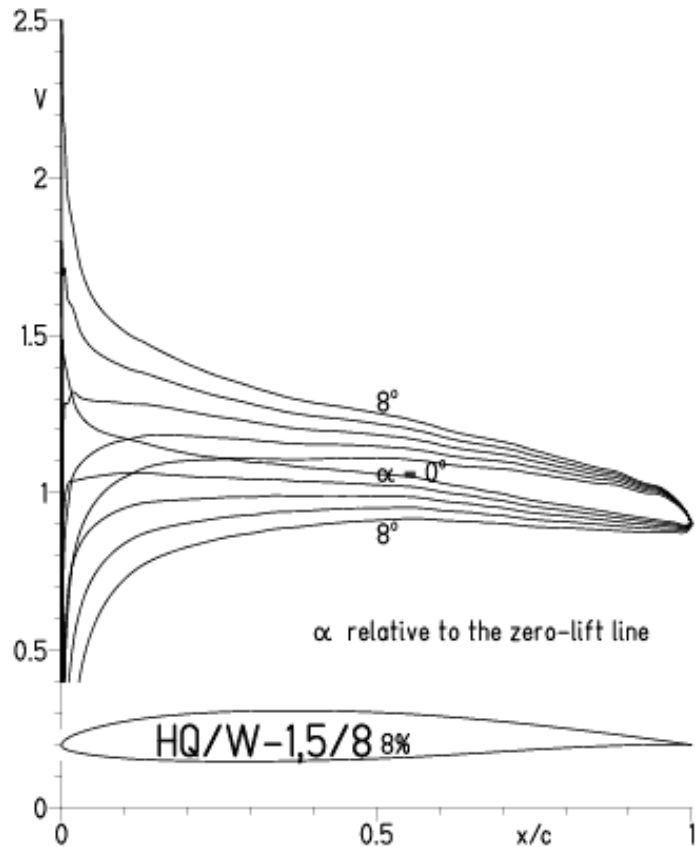
EPPLER 2005 V. 8.5.07 RUN 304.II 17:09



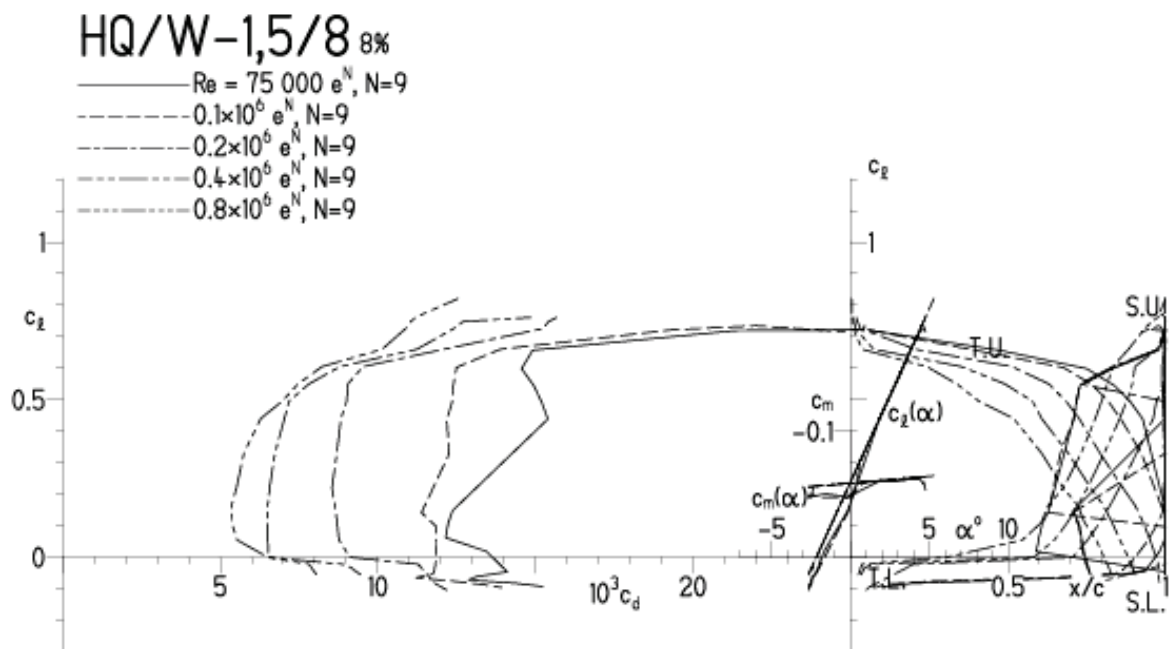
EPPLER 2005 V. 8.5.07 RUN 304.II 17:09

HQ/W-1,5/8, N=9

EPPLER 2005 V. 8.5.07 RUN 30.4.II 15:57

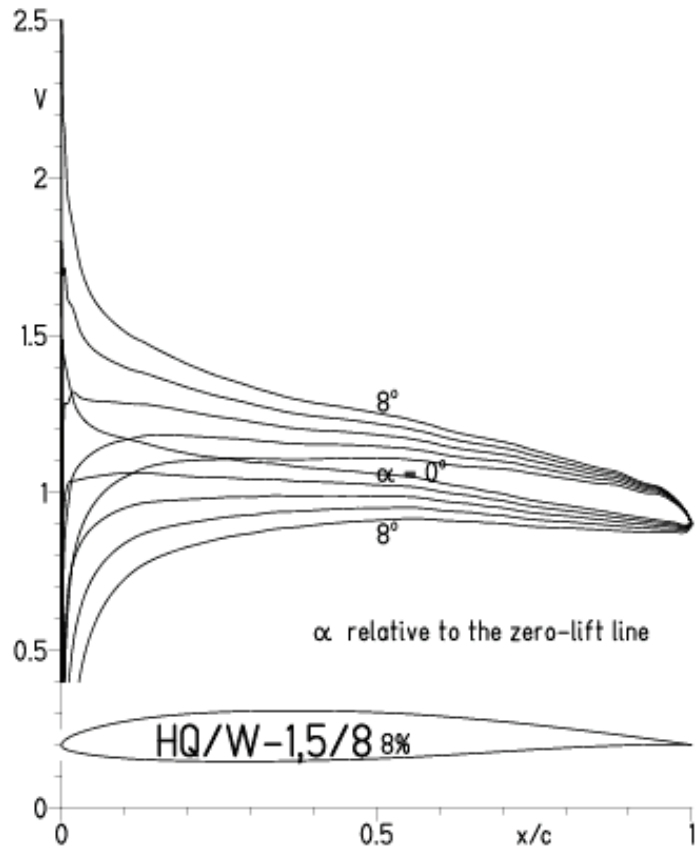


EPPLER 2005 V. 8.5.07 RUN 30.4.II 15:57

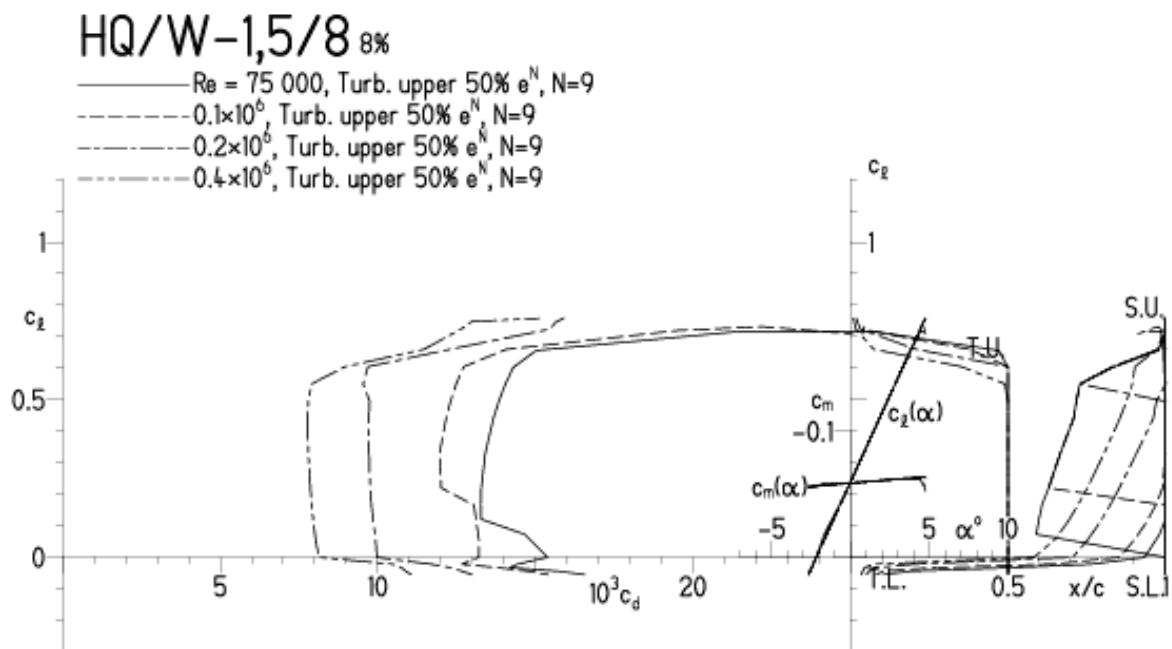


HQ/W-1,5/8, N=9, Turbulatoreffekt (optimal beim Maximum der Wölbung)

EPPLER 2005 V. 8.5.07 RUN 30.4.II 16:02

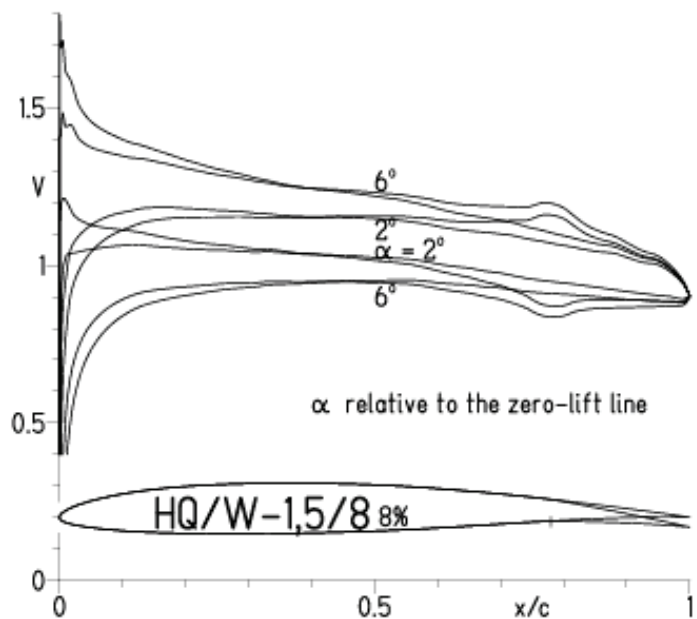


EPPLER 2005 V. 8.5.07 RUN 30.4.II 16:02

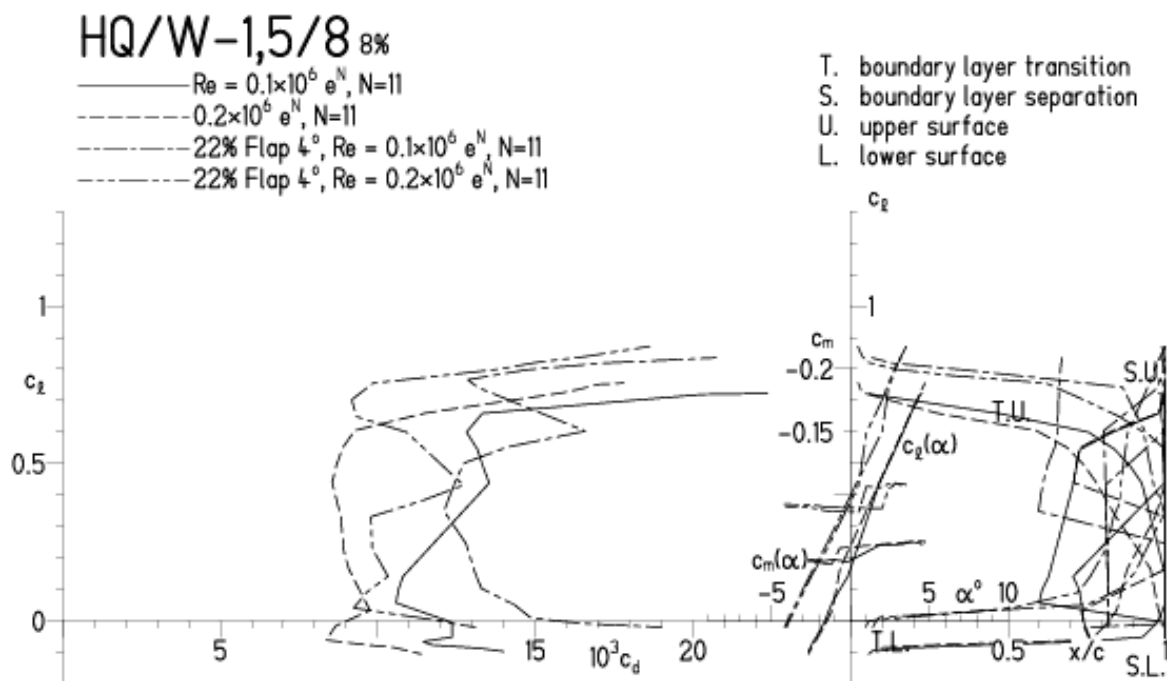


HQ/W-1,5/8, N=11, mit +4° Wölbklappenausschlag

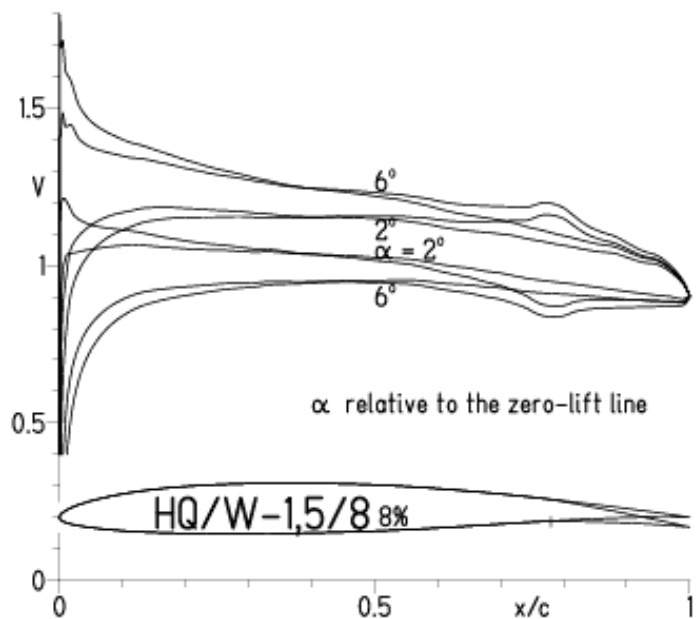
EPPLER 2005 V. 0.5.07 RUN 5.5.11 19:25



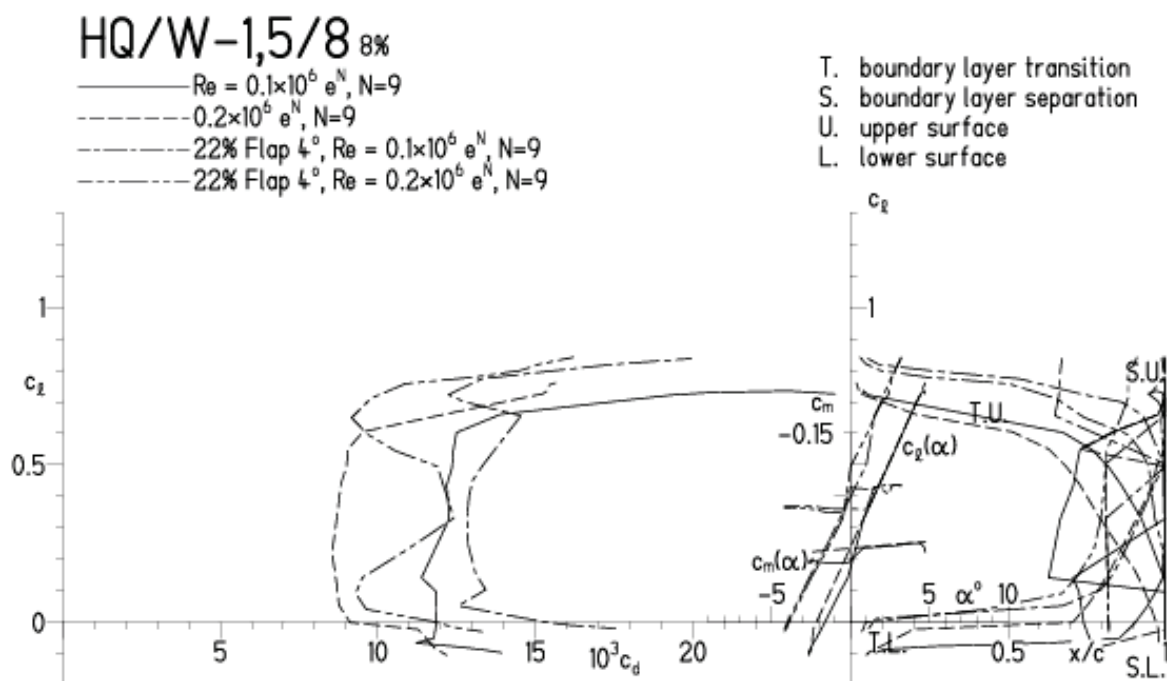
EPPLER 2005 V. 0.5.07 RUN 5.5.11 19:25

HQ/W-1.5/8, N=9, mit $+4^\circ$ Wölbklappenausschlag

EPPLER 2005 V. 0.5.07 RUN 5.5.11 19:30

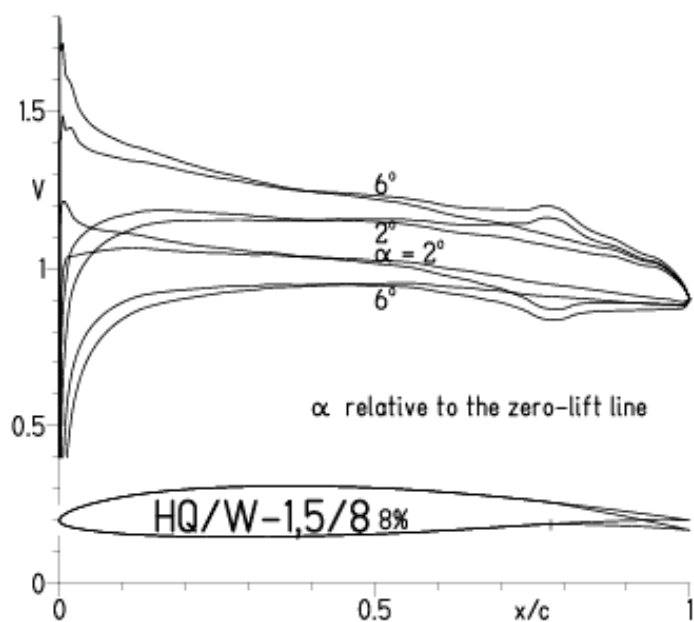


EPPLER 2005 V. 0.5.07 RUN 5.5.11 19:30

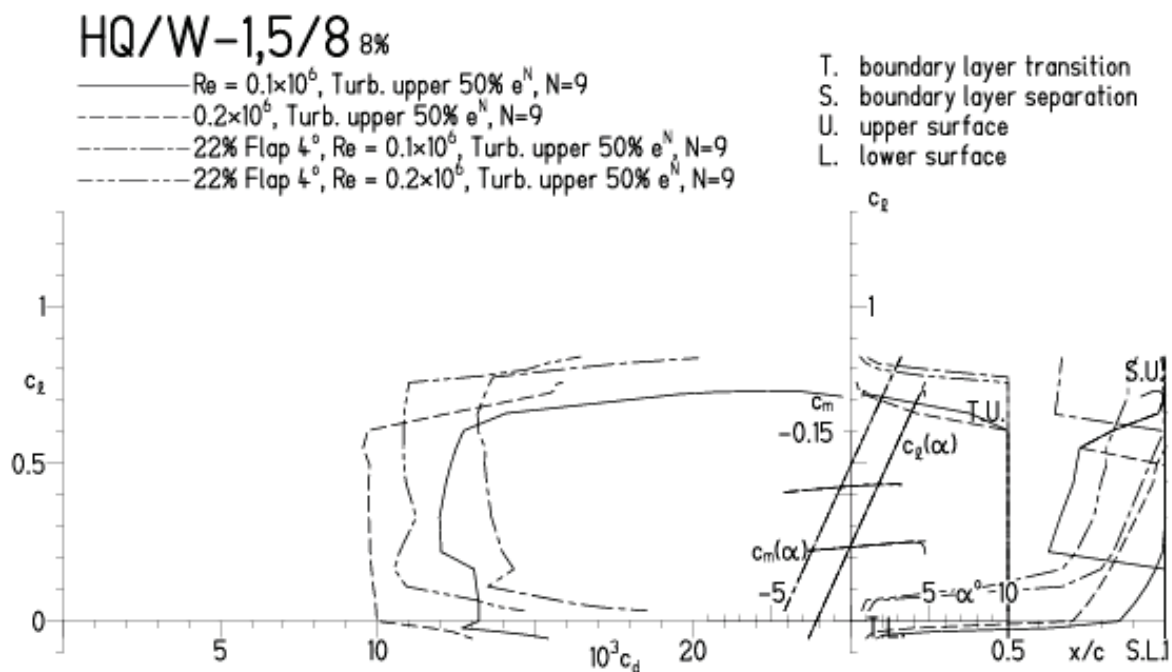


HQ/W-1.5/8, N=9, mit $+4^\circ$ Wölbklappenausschlag, Turbulatoreffekt
 (Verbesserungen für niedrige Geschwindigkeiten und Profiltiefen an Flügelenden)

EPPLER 2005 V. 0.5.07 RUN 5.5.11 19:35

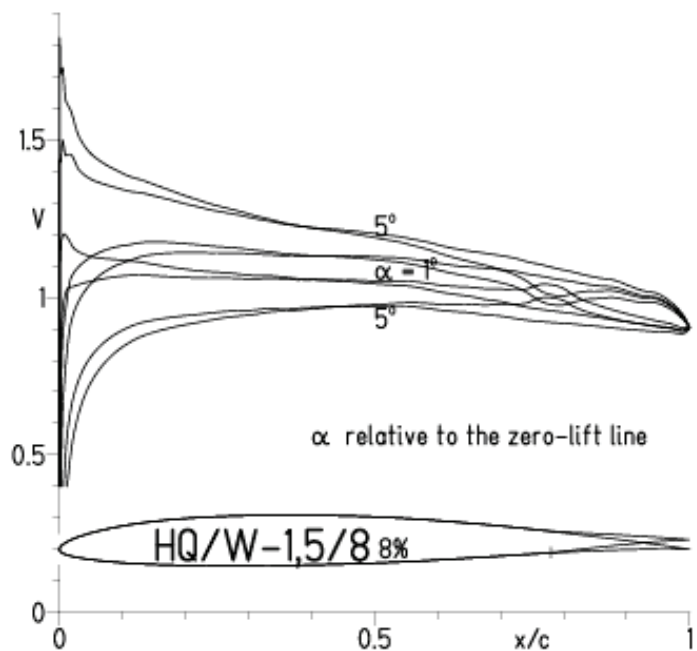


EPPLER 2005 V. 0.5.07 RUN 5.5.11 19:35

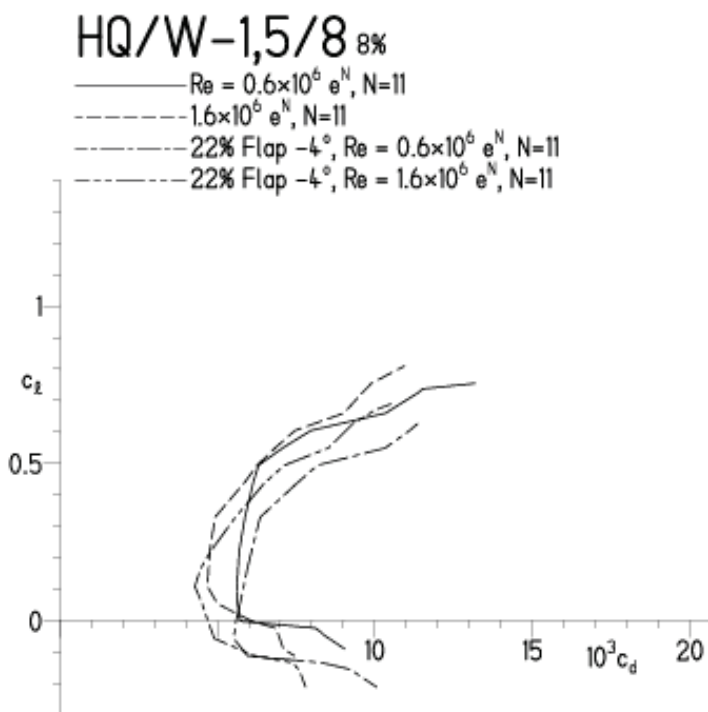


HQ/W-1.5/8, N=11, mit -4° Wölbklappenaußenschlag
(Segelmodelle mit > 50 g/dm² erreichen damit gut über 300 km/h Höchstgeschwindigkeit)

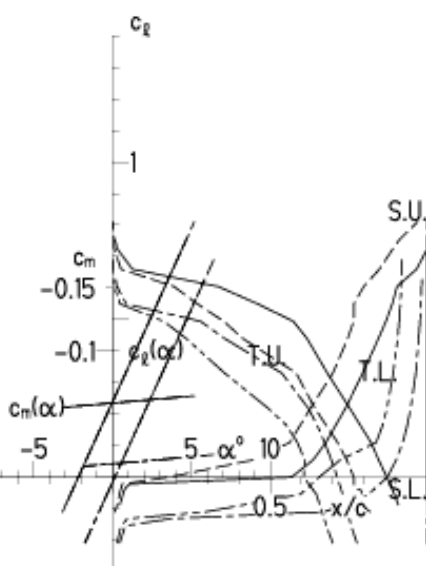
EPPLER 2005 V. 0.5.07 RUN 5.5.11 18:40



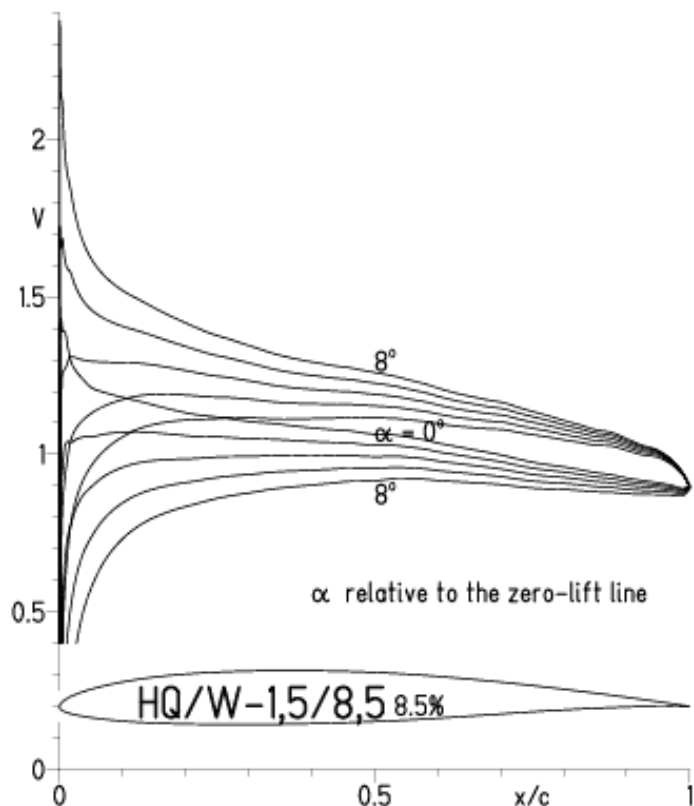
EPPLER 2005 V. 0.5.07 RUN 5.5.11 18:40



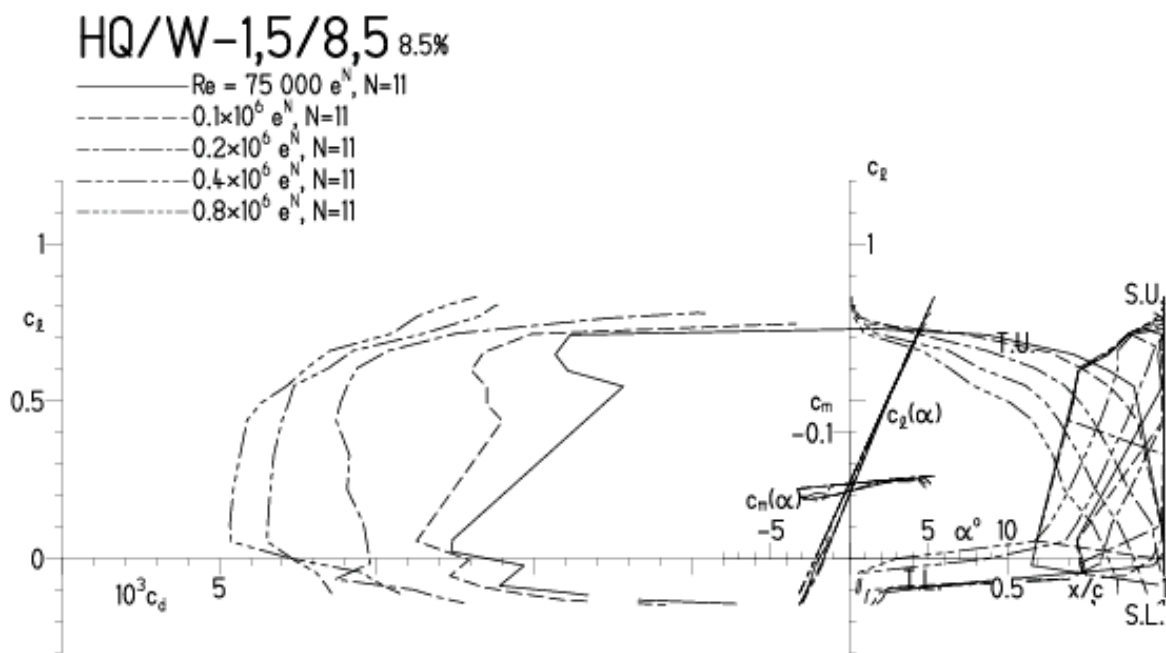
- T. boundary layer transition
- S. boundary layer separation
- U. upper surface
- L. lower surface



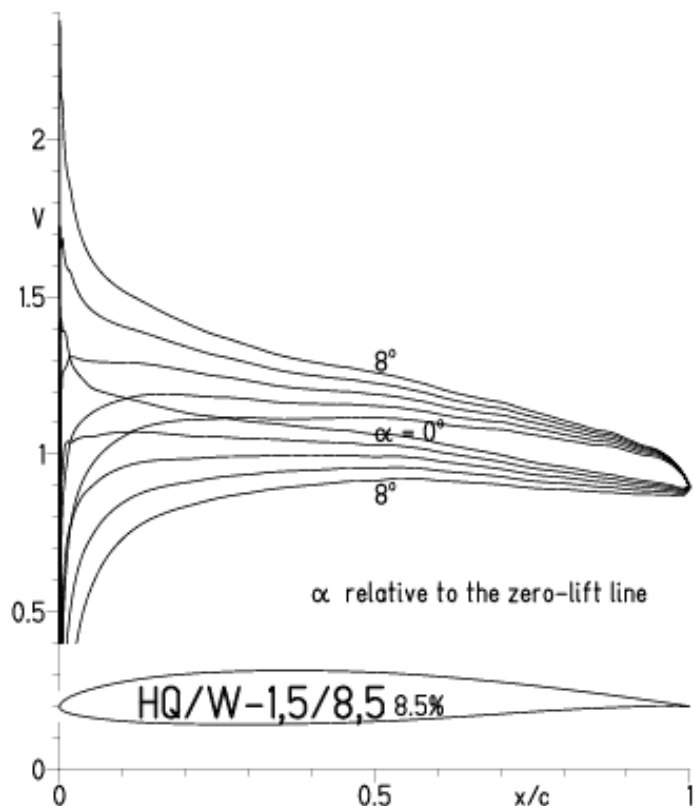
EPPLER 2005 V. 0.5.07 RUN 15.11 11:41



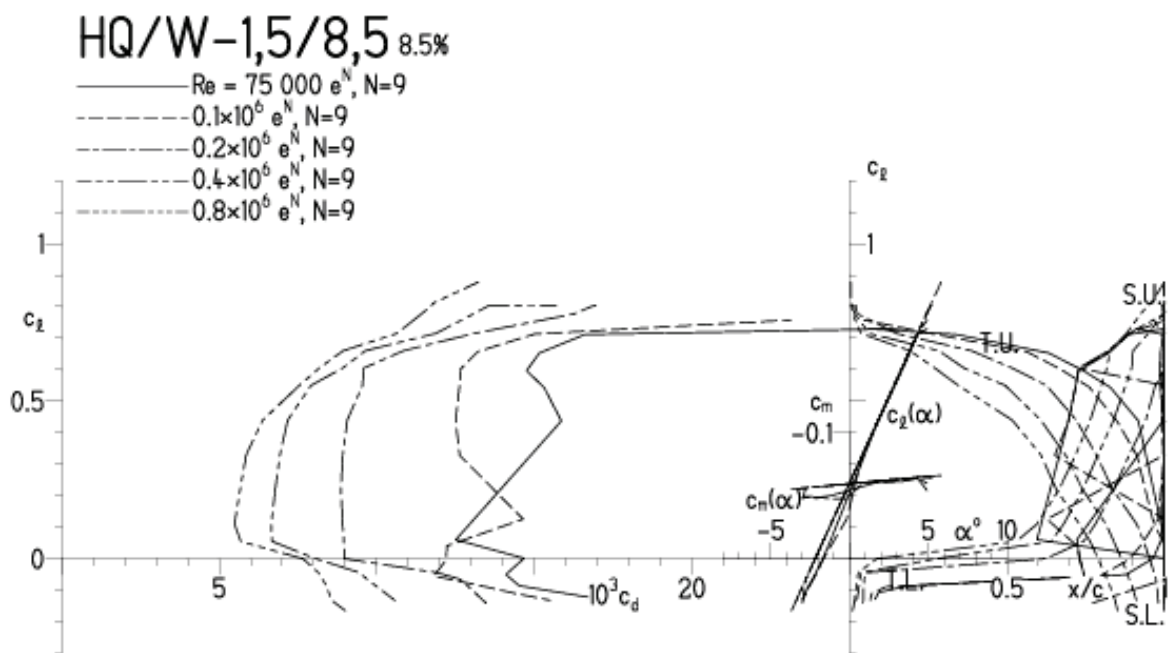
EPPLER 2005 V. 0.5.07 RUN 15.11 11:41

HQ/W-1,5/8,5, N=9

EPPLER 2005 V. 8.5.07 RUN 15.II 11:59

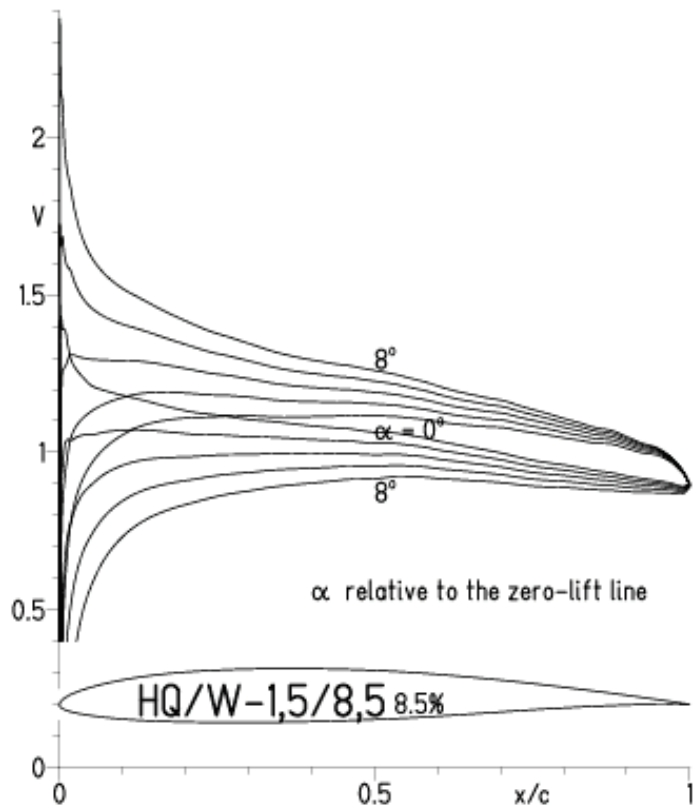


EPPLER 2005 V. 8.5.07 RUN 15.II 11:59

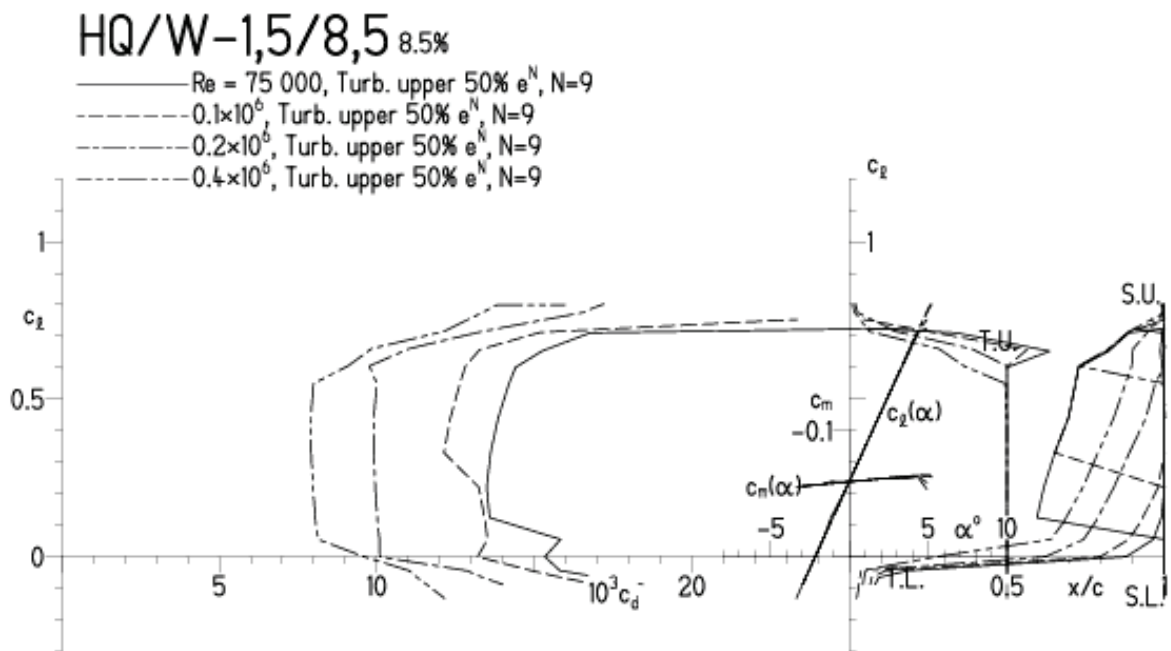


HQ/W-1,5/8,5, N=9, Turbulatoreffekt (optimal beim Maximum der Wölbung)

EPPLER 2005 V. 8.5.07 RUN 15.II 12:03

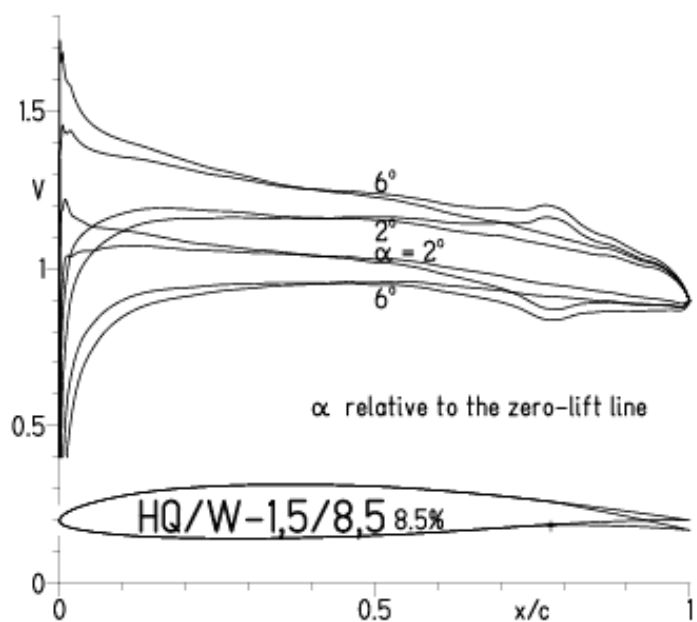


EPPLER 2005 V. 8.5.07 RUN 15.II 12:03

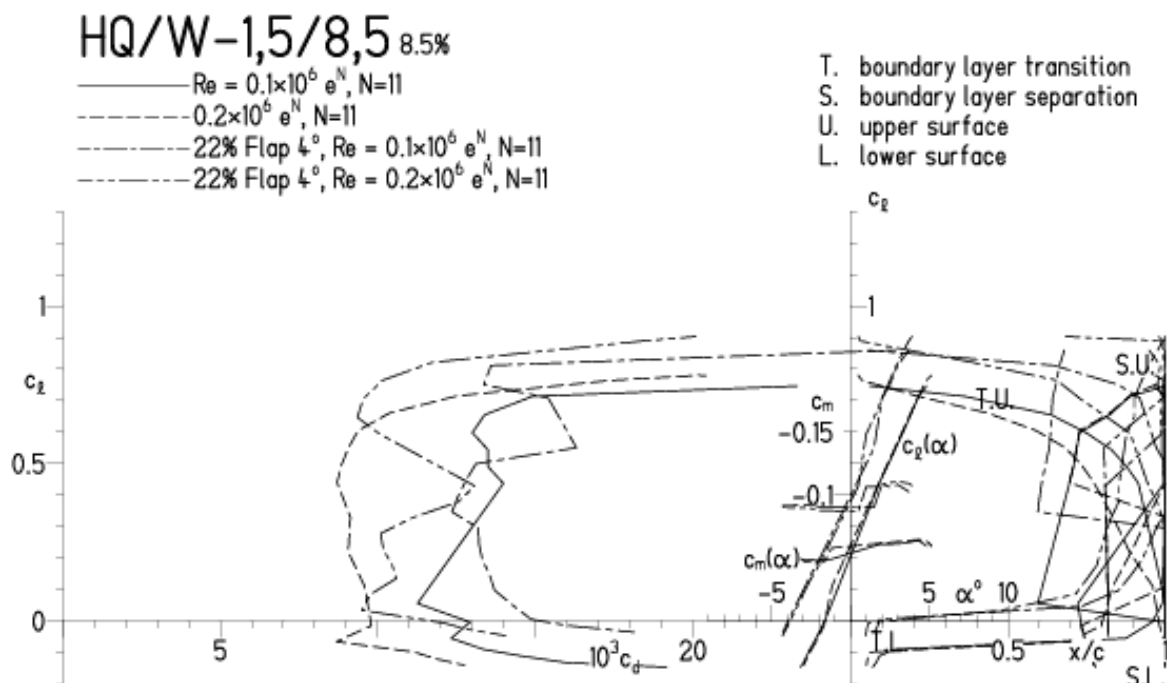


HQ/W-15/8,5, N=11, mit +4° Wölbklappenausschlag

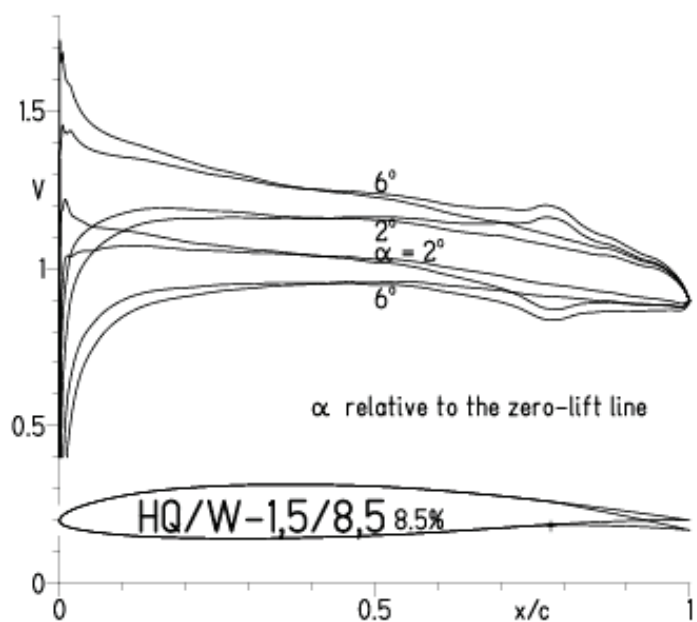
EPPLER 2005 V. 0.5.07 RUN 5.5.II 19:03



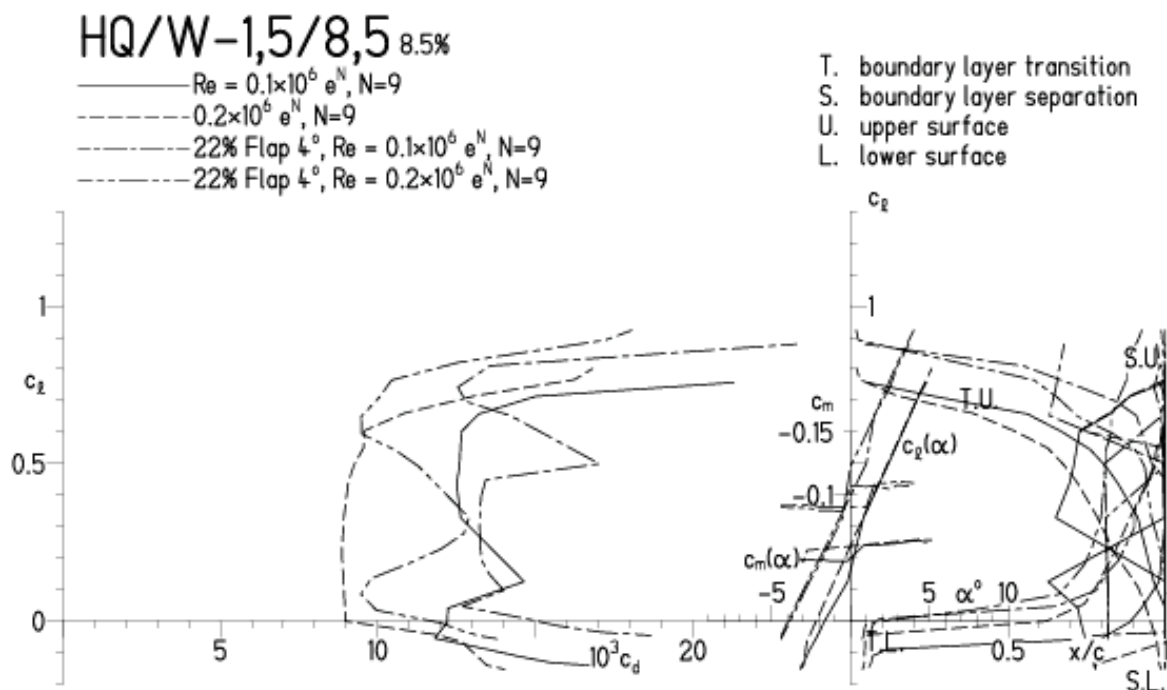
EPPLER 2005 V. 0.5.07 RUN 5.5.II 19:03

HQ/W-1.5/8.5, N=9, mit +4° Wölbklappenausschlag

EPPLER 2005 V. 0.5.07 RUN 5.5.II 19:07

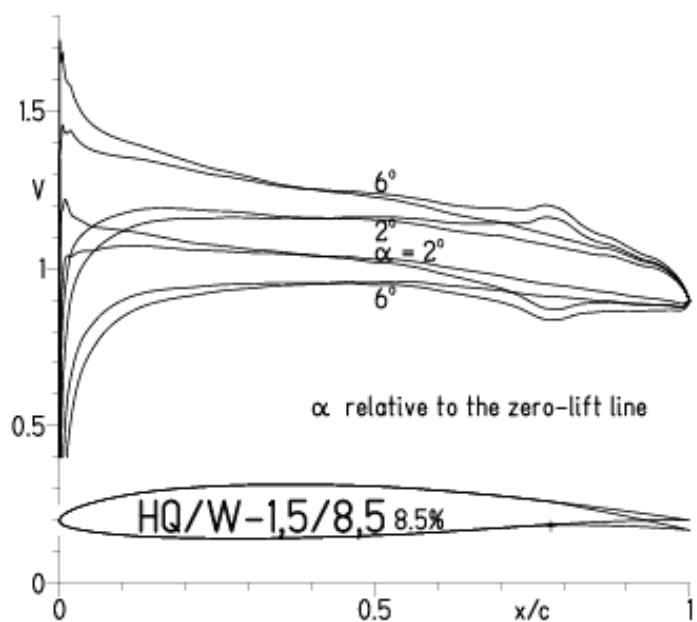


EPPLER 2005 V. 0.5.07 RUN 5.5.II 19:07

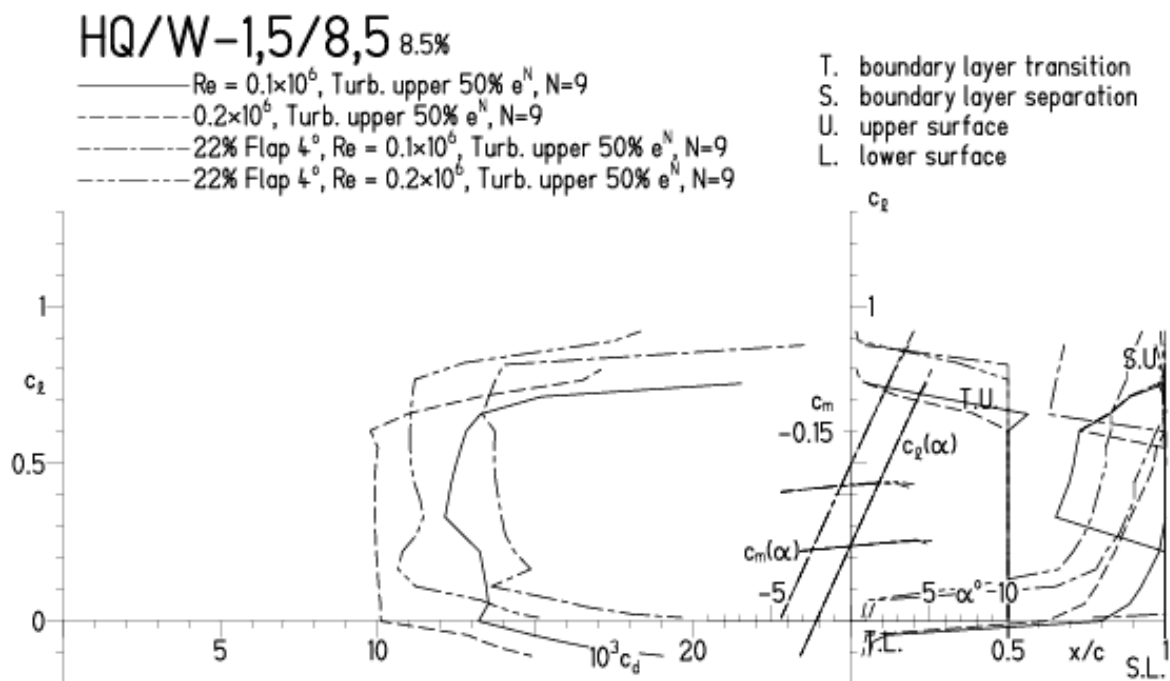


HQ/W-1.5/8.5, N=9, mit $+4^\circ$ Wölbklappenausschlag, Turbulatoreffekt
 (Verbesserungen für niedrige Geschwindigkeiten und Profiltiefen an Flügelenden)

EPPLER 2005 V. 0.5.07 RUN 5.5.II 19:10

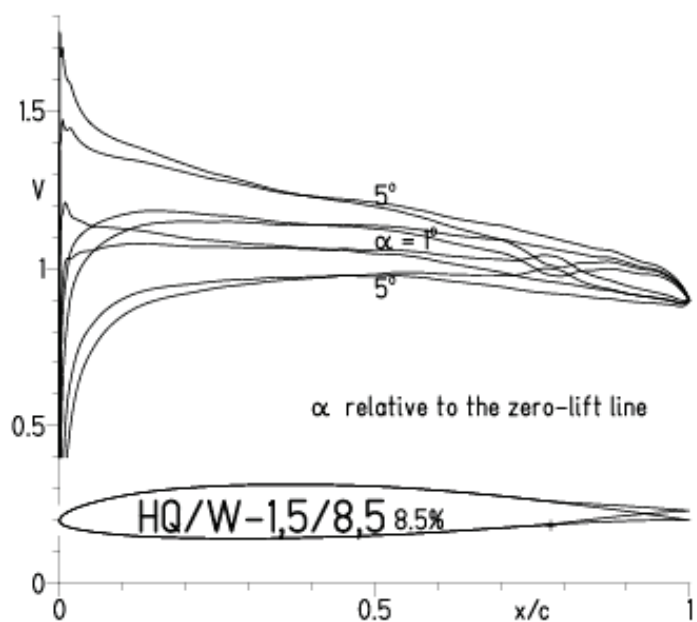


EPPLER 2005 V. 0.5.07 RUN 5.5.II 19:10

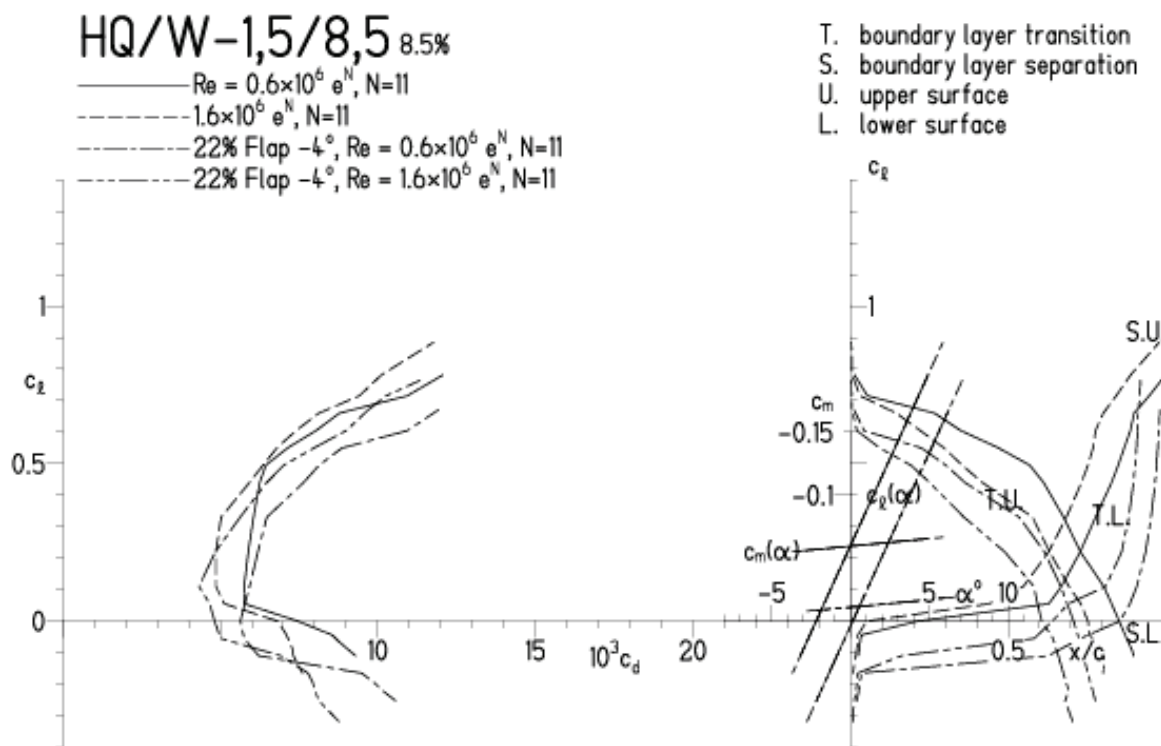


HQ/W-1,5/8,5, N=11, mit -4° Wölbklappenausschlag
 (Segelflugmodelle mit $> 50 \text{ g/dm}^2$ erreichen damit gut über 300 km/h
 Höchstgeschwindigkeit)

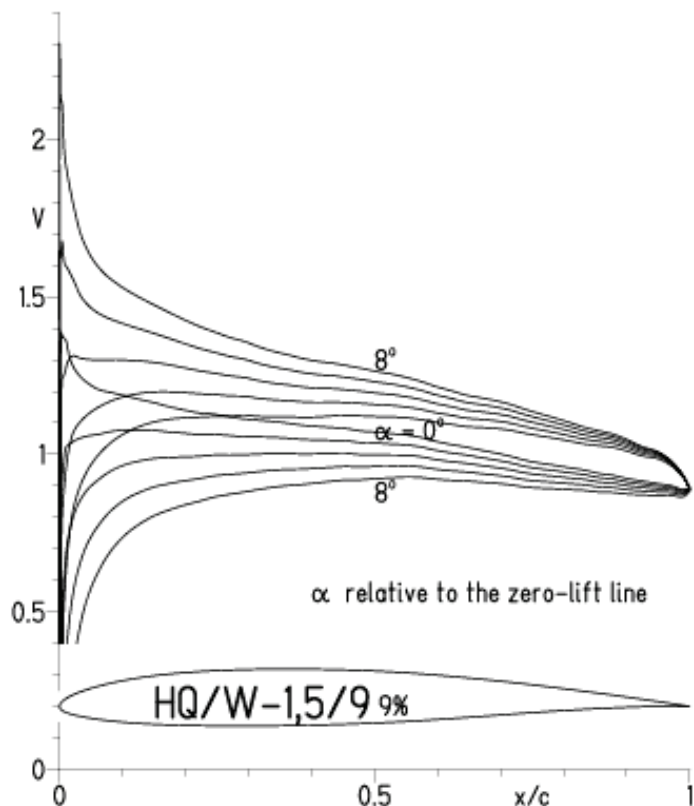
EPPLER 2005 V. 0.5.07 RUN 5.5.II 19:13



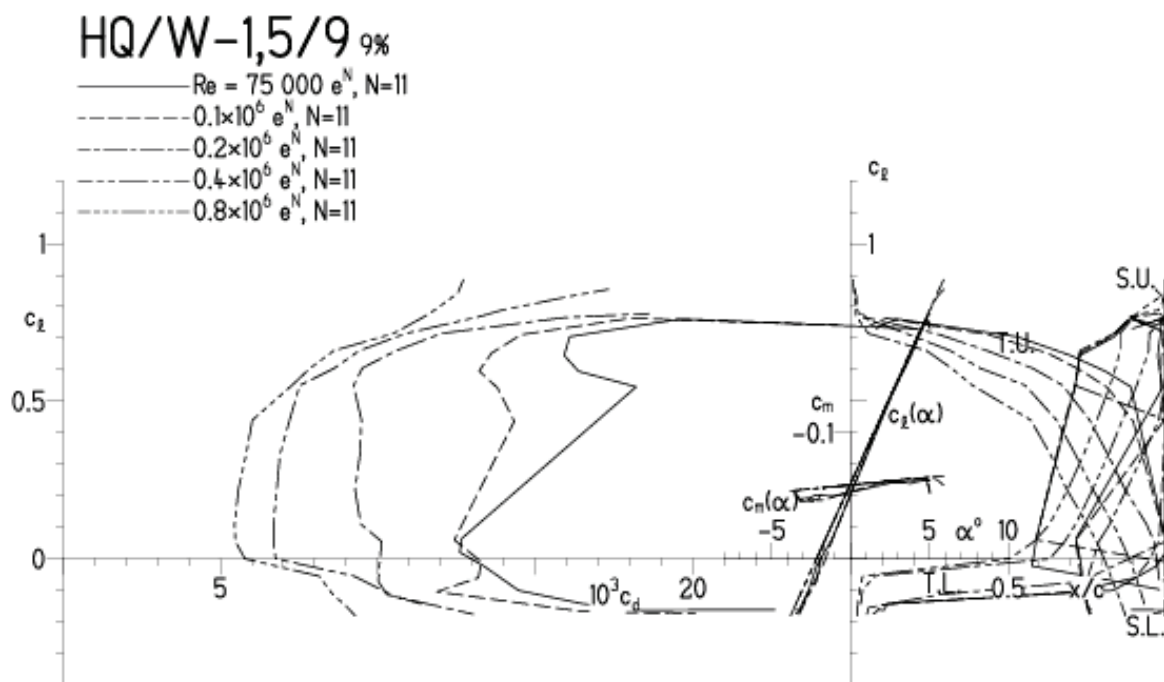
EPPLER 2005 V. 0.5.07 RUN 5.5.II 19:13

HQ/W-1.5/9, N=11

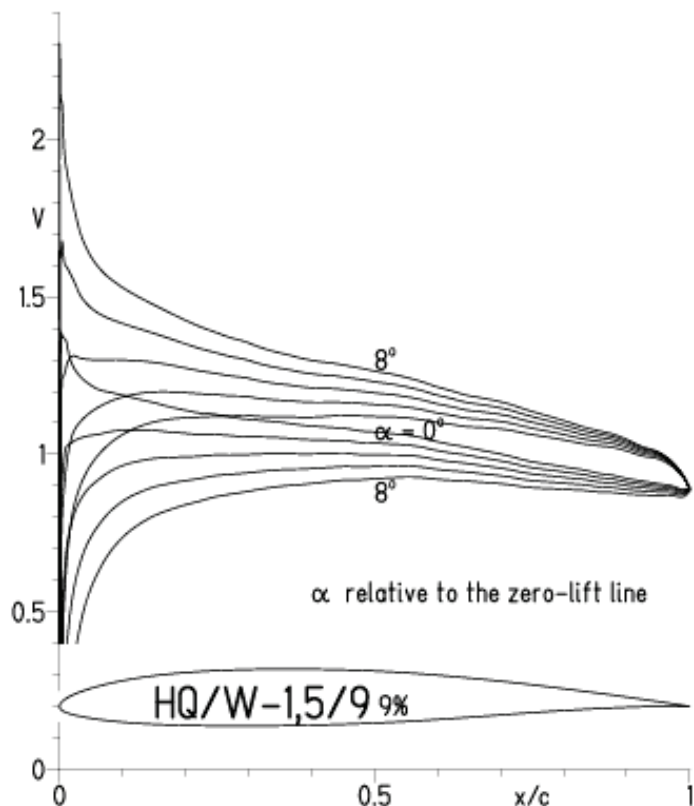
EPPLER 2005 V. 8.5.07 RUN 2.5.II 1145



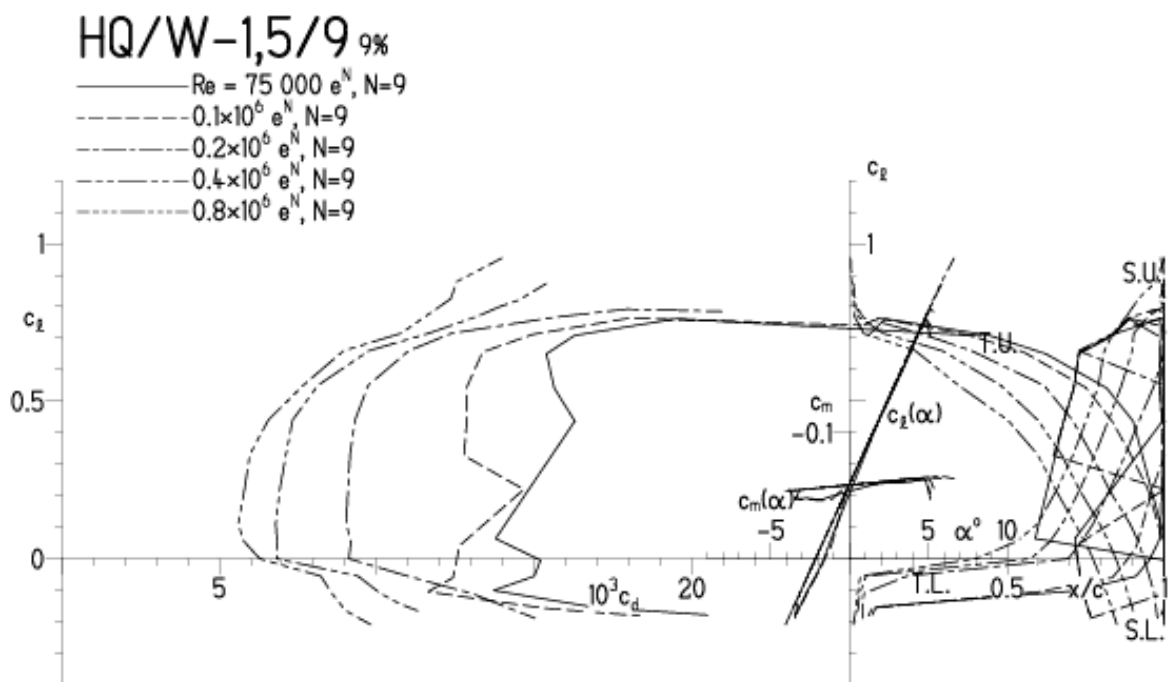
EPPLER 2005 V. 8.5.07 RUN 2.5.II 1145

HQ/W-1.5/9, N=9

EPPLER 2005 V. 0.5.07 RUN 2.5.II 12:17

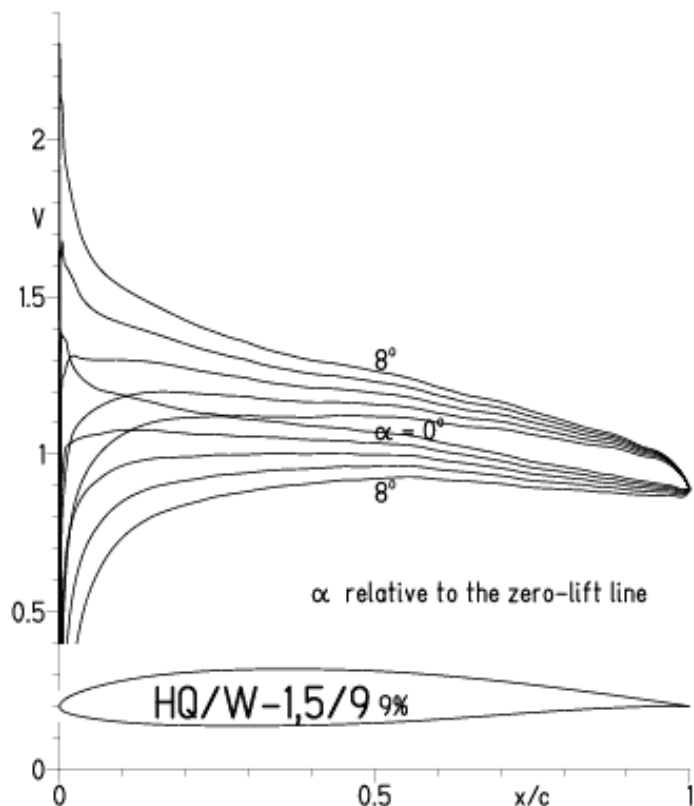


EPPLER 2005 V. 0.5.07 RUN 2.5.II 12:17

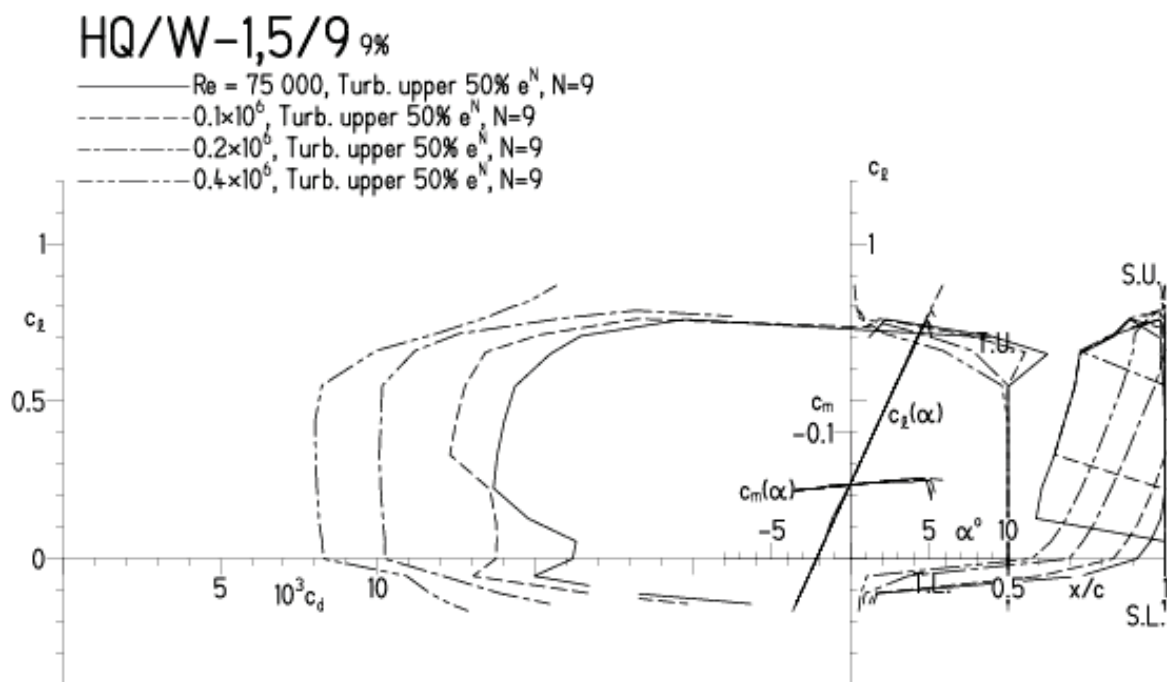


HQ/W-1.5/9, N=9, Turbulatoreffekt (optimal beim Maximum der Wölbung)

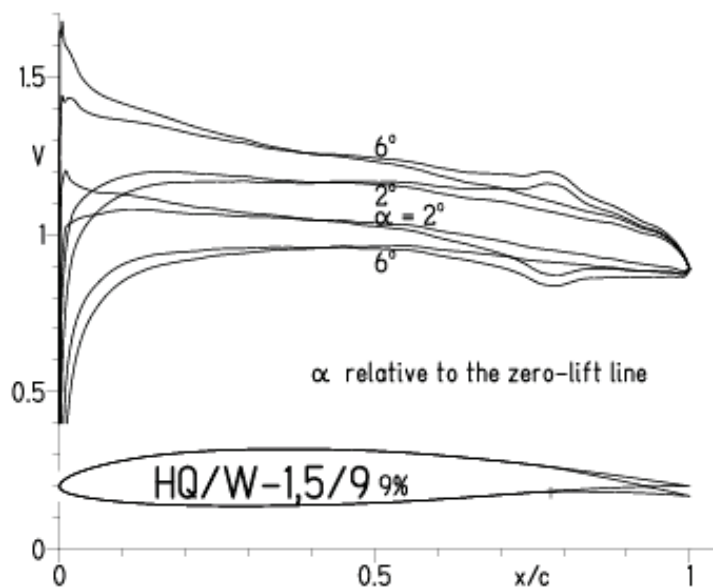
EPPLER 2005 V. 8.5.07 RUN 2.5.II 12:21



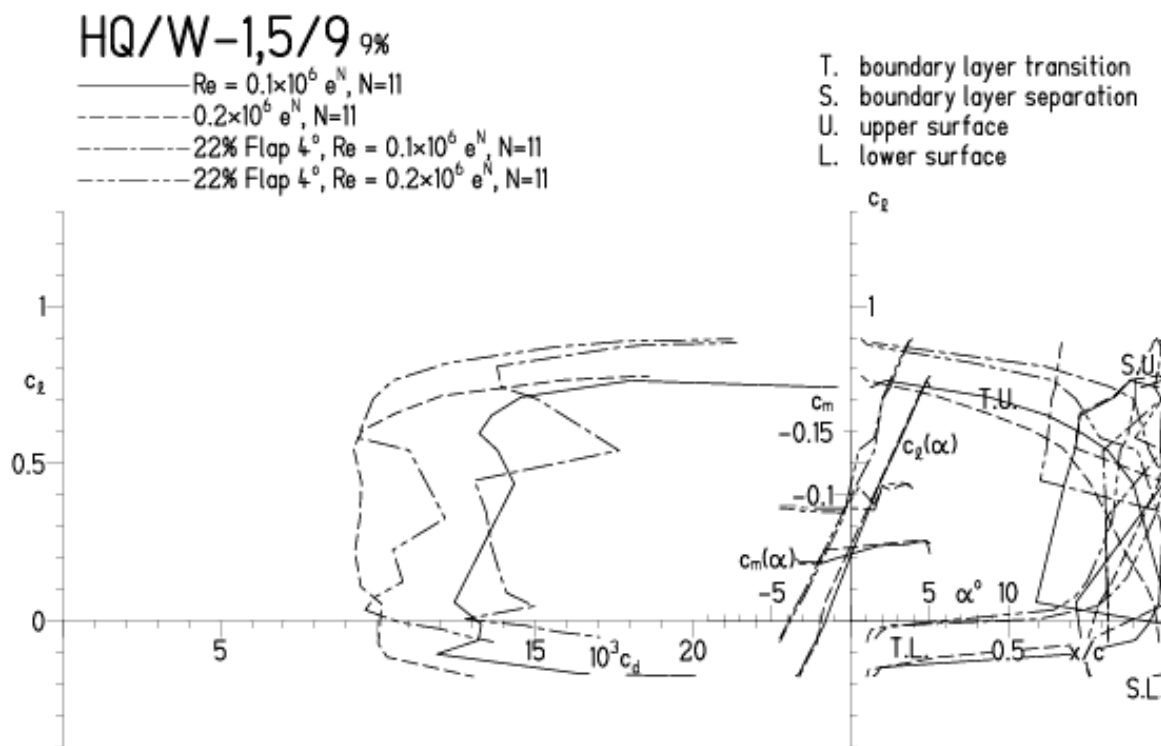
EPPLER 2005 V. 8.5.07 RUN 2.5.II 12:21

HQ/W-1,5/9, N=11, mit $+4^\circ$ Wölbklappenausschlag

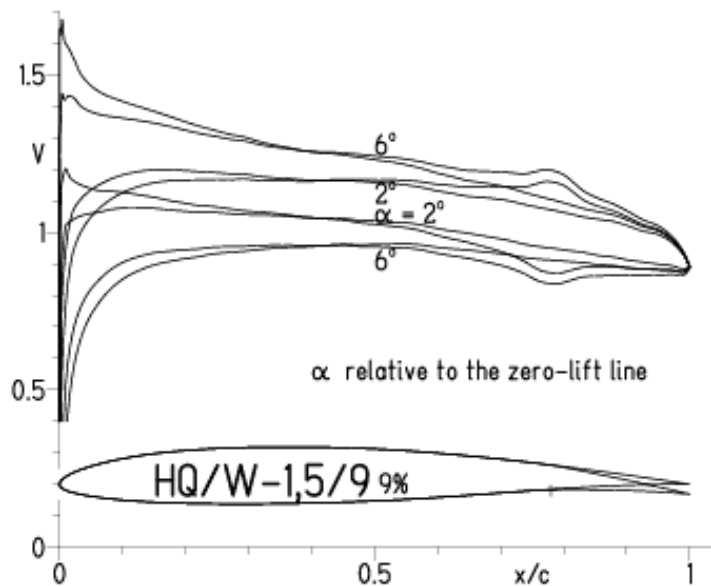
EPPLER 2005 V. 0.5.07 RUN 5.5.II 19:53



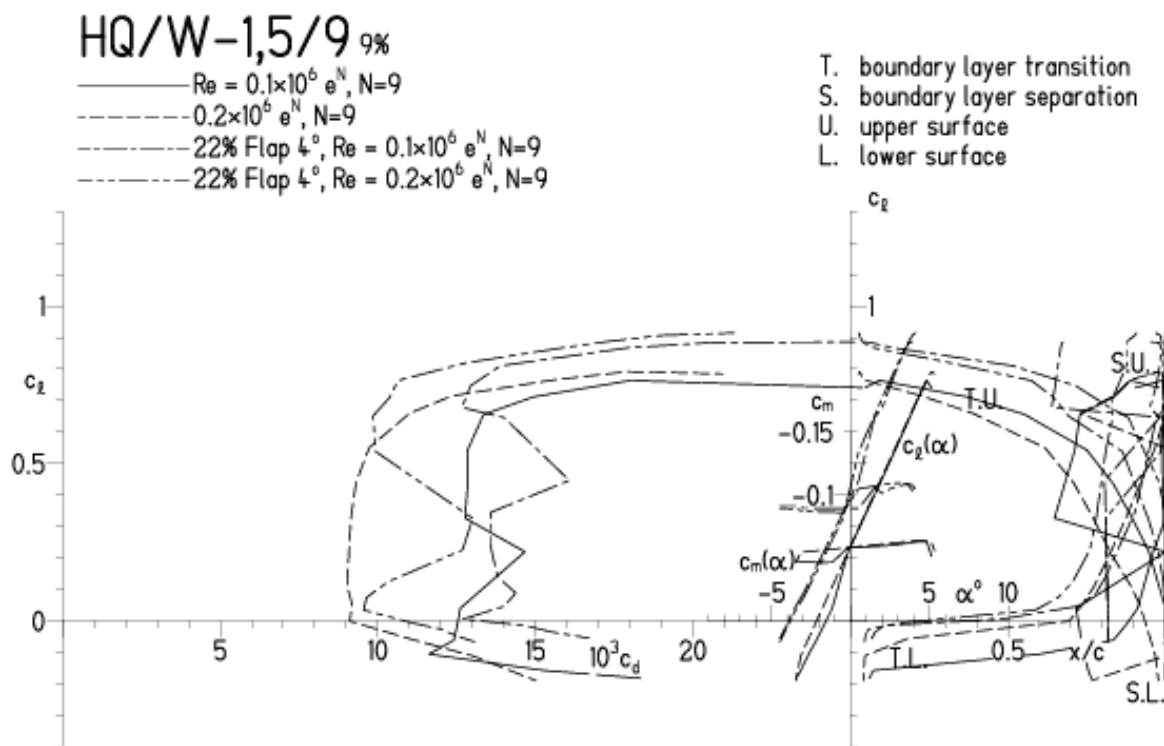
EPPLER 2005 V. 0.5.07 RUN 5.5.II 19:5

HQ/W-1,5/9, N=9, mit $+4^\circ$ Wölbklappenausschlag

EPPLER 2005 V. 0.5.07 RUN 5.5.II 19:56

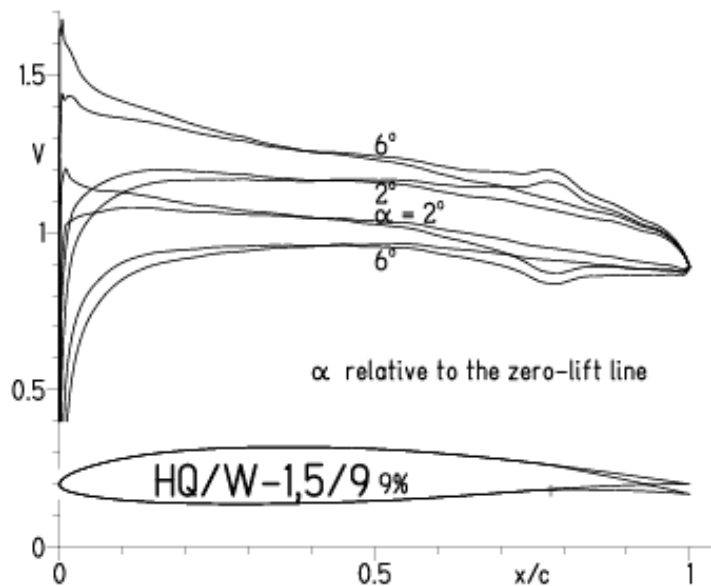


EPPLER 2005 V. 0.5.07 RUN 5.5.II 19:56



HQ/W-1,5/9, N=9, mit $+4^\circ$ Wölbklappenausschlag, Turbulatoreffekt
 (Verbesserungen für niedrige Geschwindigkeiten und Profiltiefen an Flügelenden)

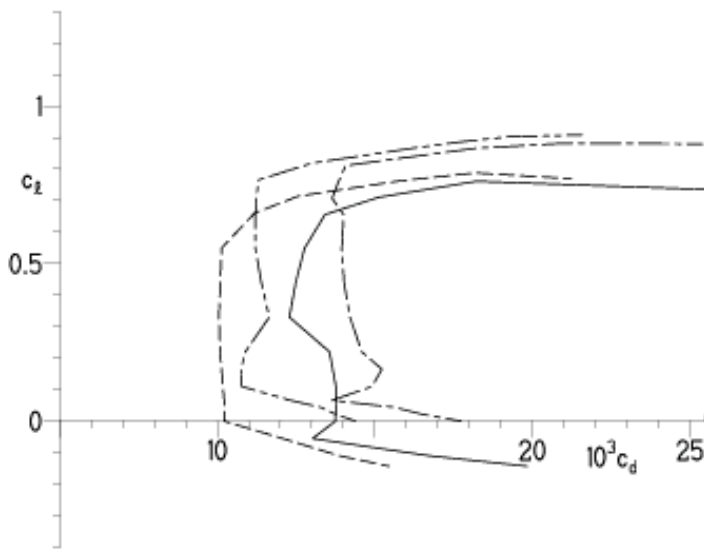
EPPLER 2005 V, 8.5.07 RUN 5.5.II 19:59



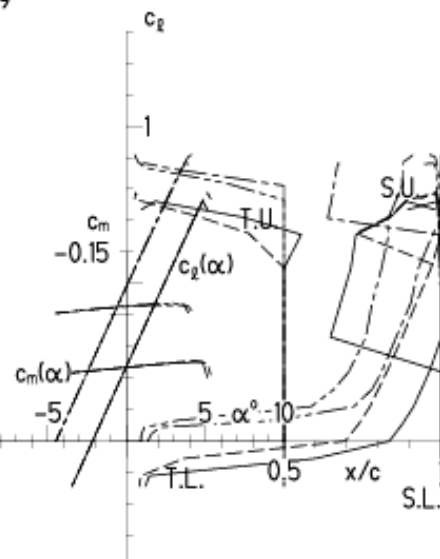
EPPLER 2005 V

HQ/W-1,5/9 9%

— Re = 0.1×10^6 , Turb. upper 50% e^N , N=9
 - - - - Re = 0.2×10^6 , Turb. upper 50% e^N , N=9
 - - - - 22% Flap 4° , Re = 0.1×10^6 , Turb. upper 50% e^N , N=9
 - - - - 22% Flap 4° , Re = 0.2×10^6 , Turb. upper 50% e^N , N=9



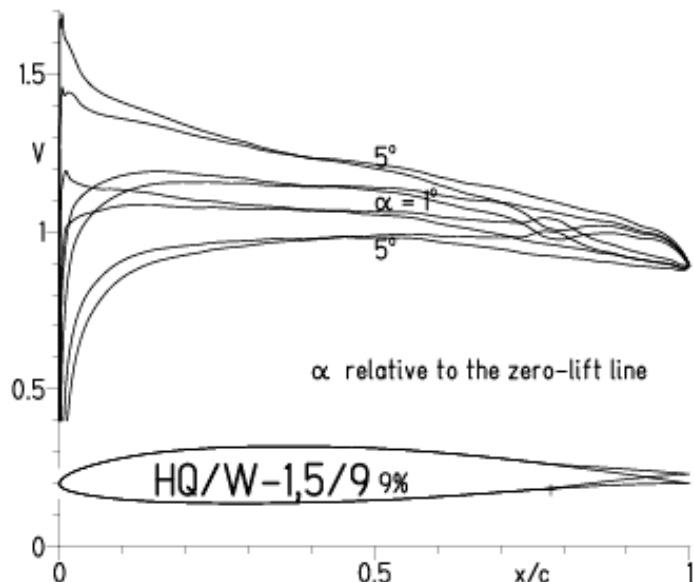
- T. boundary layer transition
- S. boundary layer separation
- U. upper surface
- L. lower surface



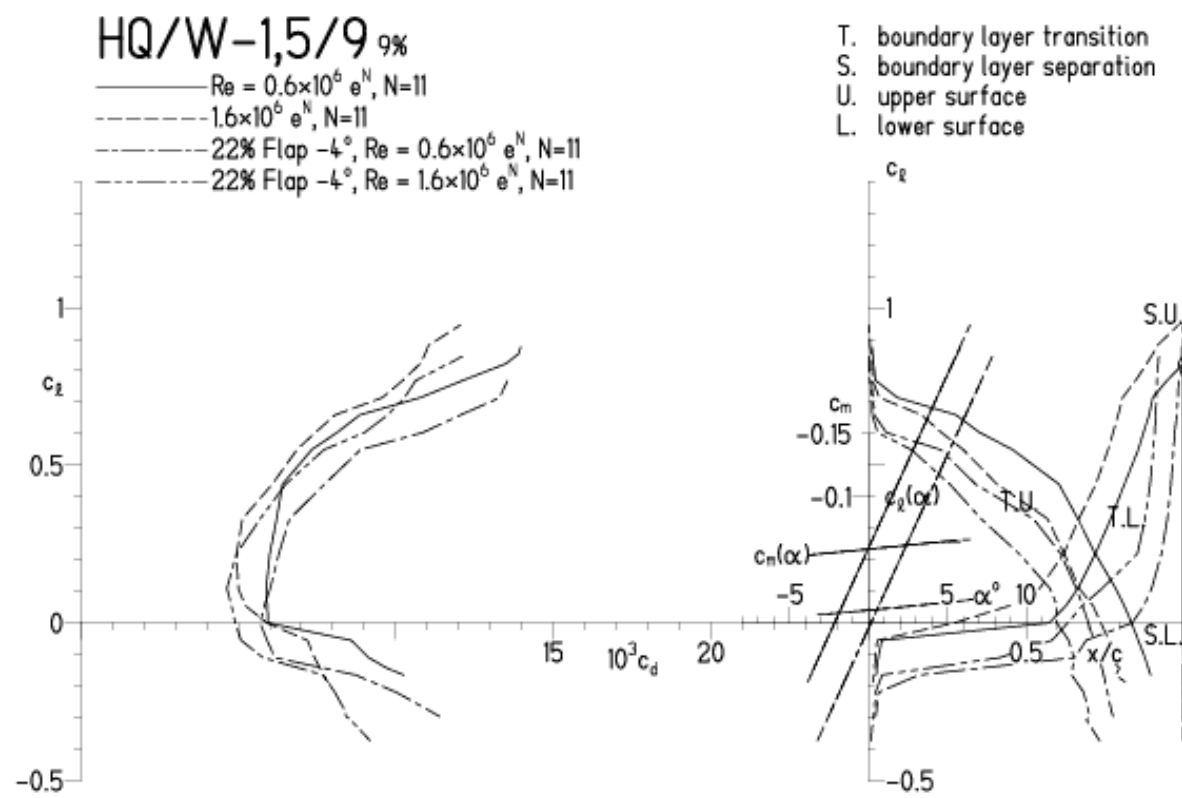
HQ/W-1,5/9, N=11, mit -4° Wölbklappenausschlag

(Segelflugmodelle mit $> 50 \text{ g/dm}^2$ erreichen damit gut über 300 km/h Höchstgeschwindigkeit)

EPPLER 2005 V. 8.5.07 RUN 5.5.11 20:02

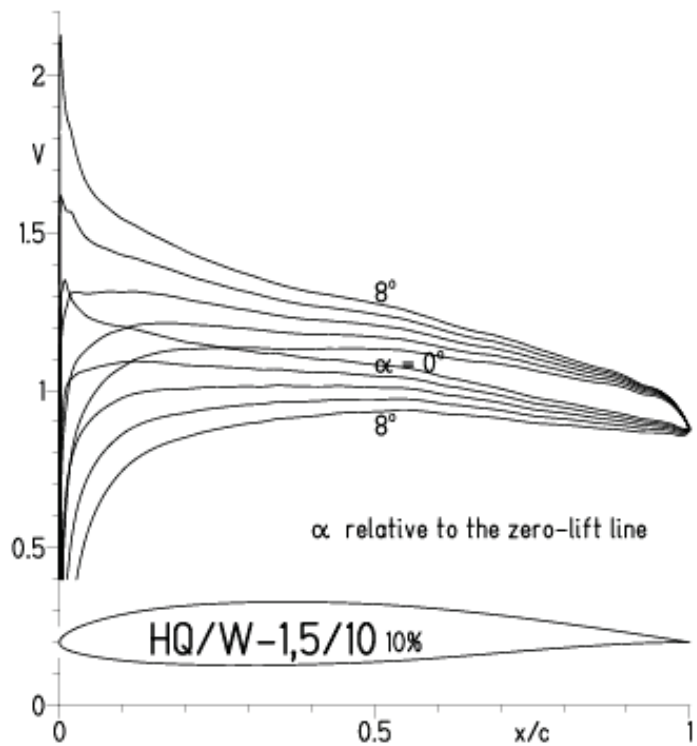


EPPLER 2005 V. 8.5.07 RUN 5.5.11 20:02

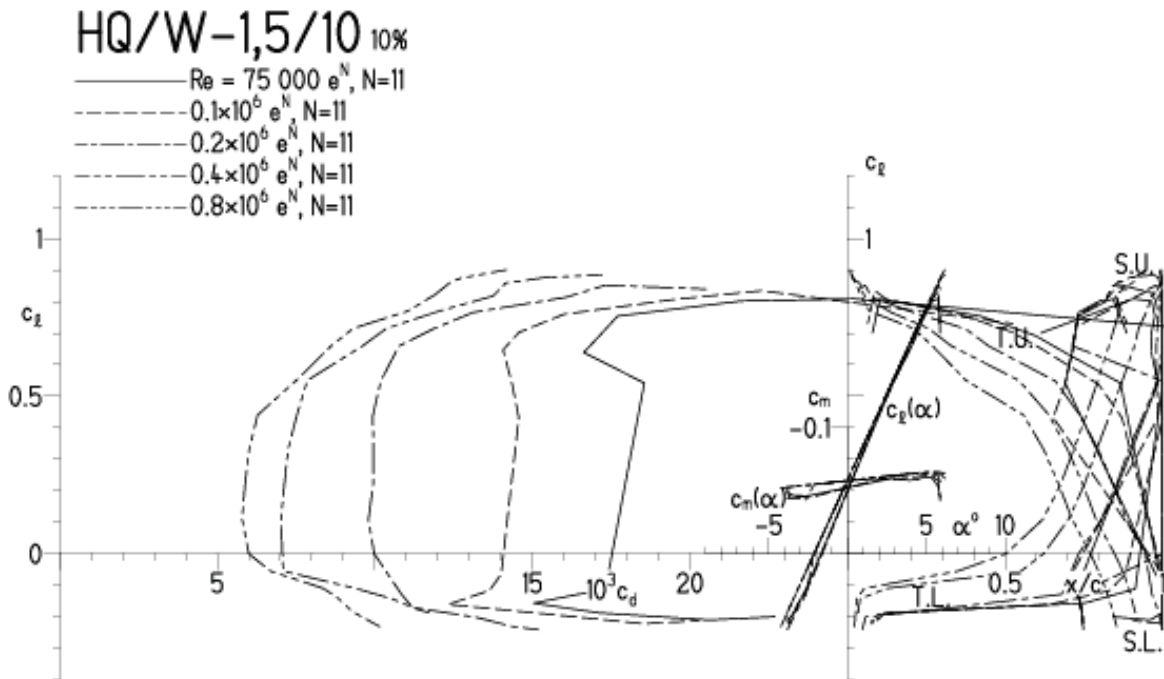


HQ/W-1,5/10, N=11

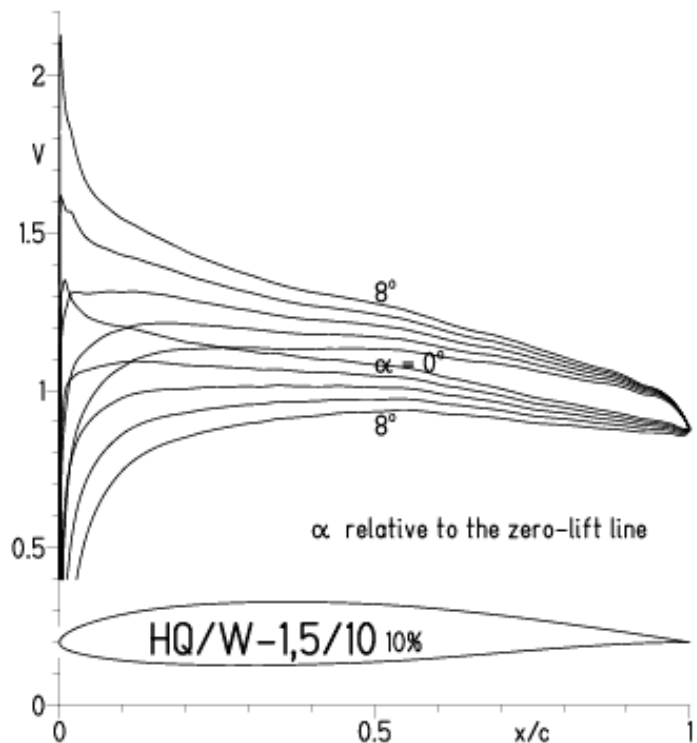
EPPLER 2005 V. 8.5.07 RUN 2.5.II 16:27



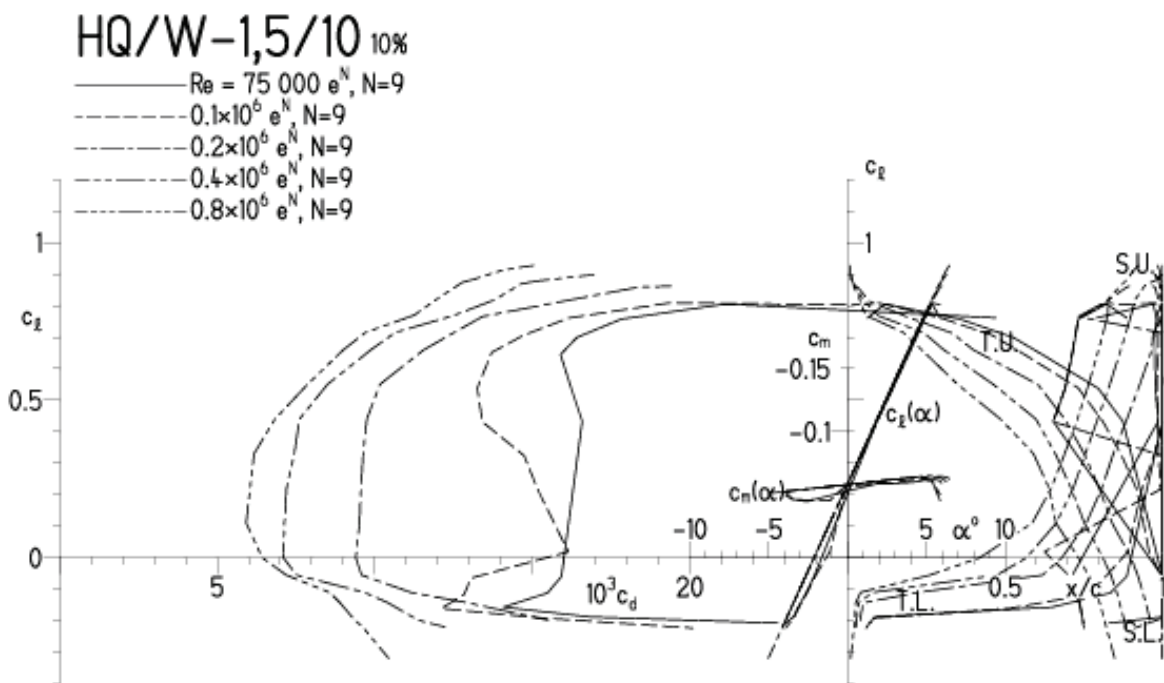
EPPLER 2005 V. 8.5.07 RUN 2.5.II 16:27

HQ/W-1,5/10, N=9

EPPLER 2005 V. 8.5.07 RUN 2.5.II 16:59

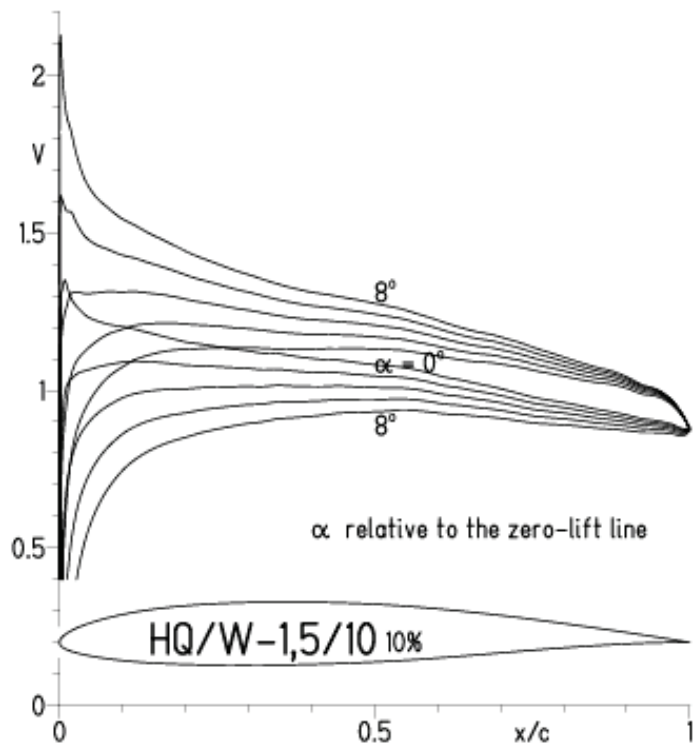


EPPLER 2005 V. 8.5.07 RUN 2.5.II 16:59

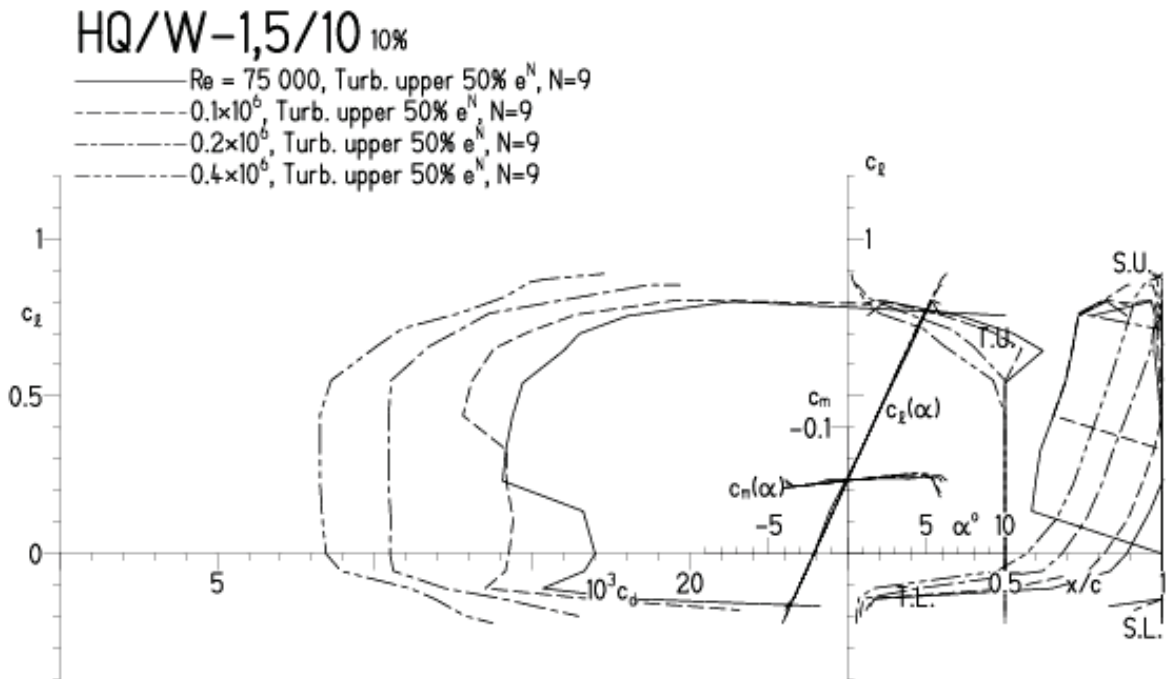


HQ/W-1,5/10, N=9, Turbulatoreffekt (optimal beim Maximum der Wölbung)

EPPLER 2005 V. 8.5.07 RUN 2.5.II 17:03

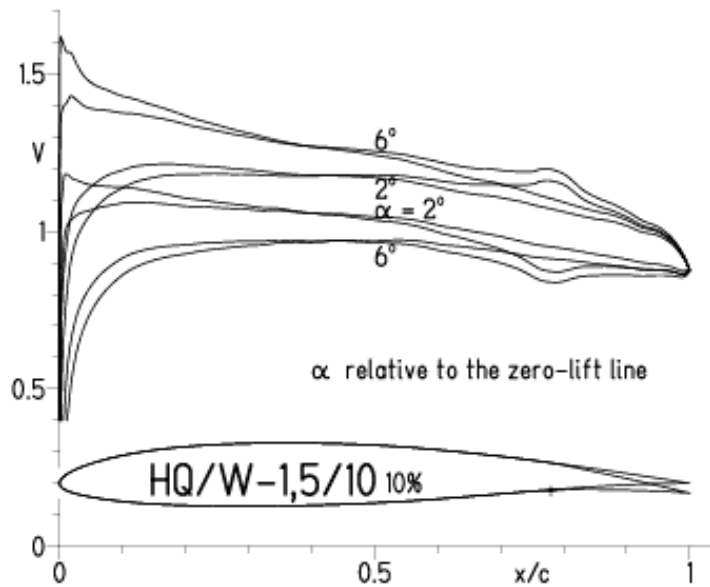


EPPLER 2005 V. 8.5.07 RUN 2.5.II 17:03

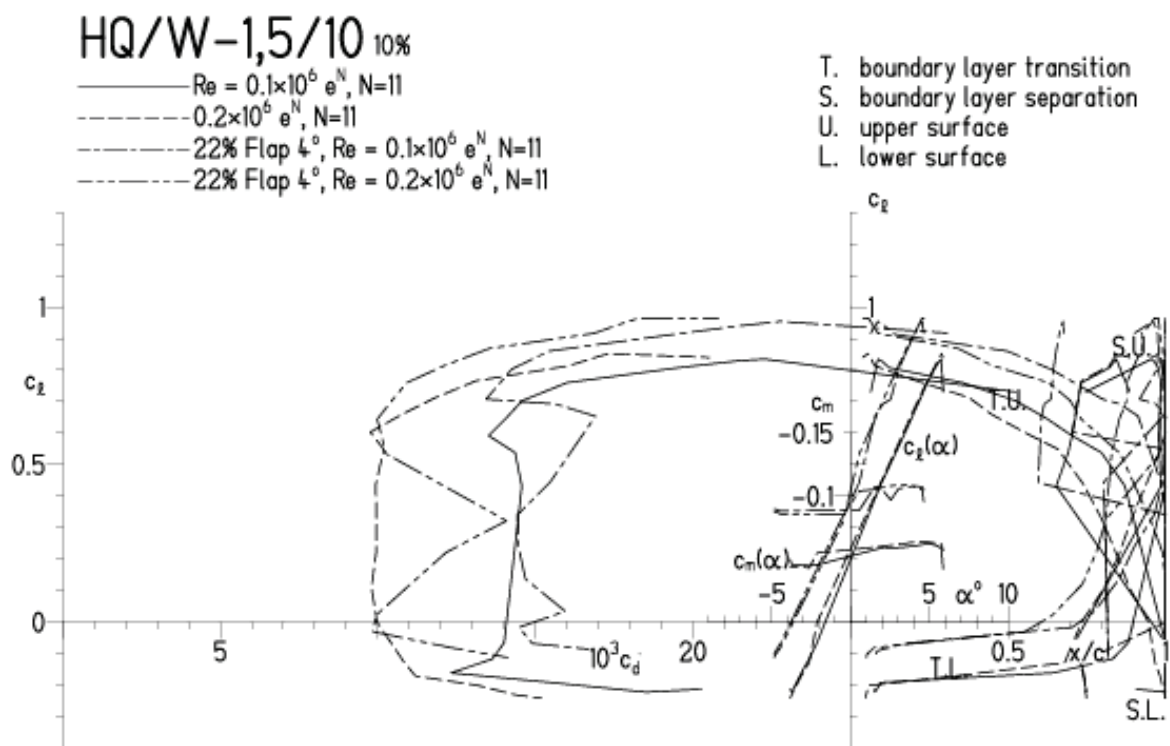


HQ/W-1,5/10, N=11, mit +4° Wölbklappenausschlag

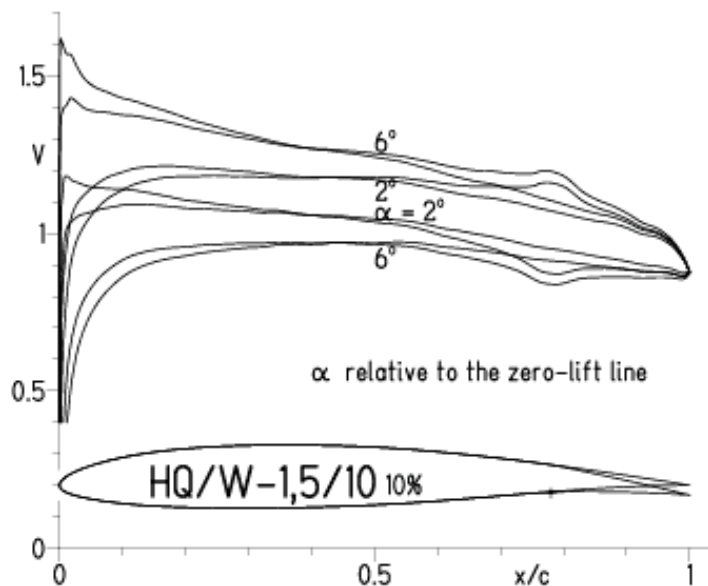
EPPLER 2005 V. 8.5.07 RUN 5.5.11 20:06



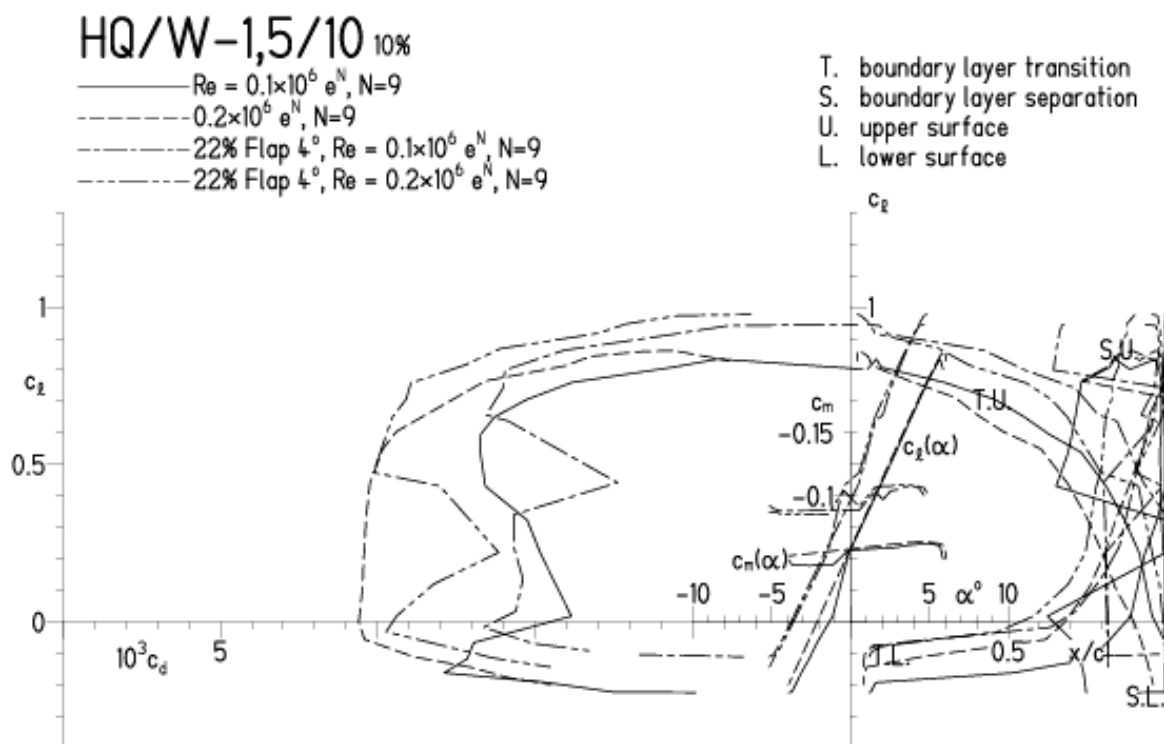
EPPLER 2005 V. 8.5.07 RUN 5.5.11 2

HQ/W-1,5/10, N=9, mit +4° Wölbklappenausschlag

EPPLER 2005 V. 8.5.07 RUN 5.5. 20:09

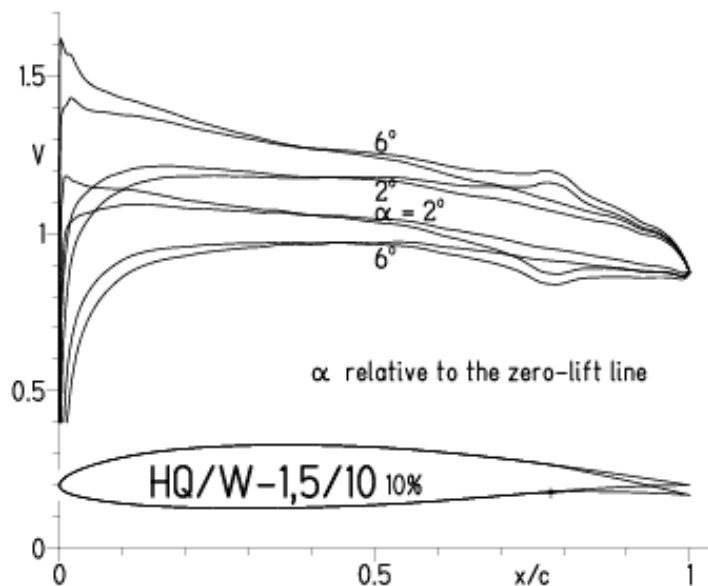


EPPLER 2005 V. 8.5.07 RUN 5.5. 20:09

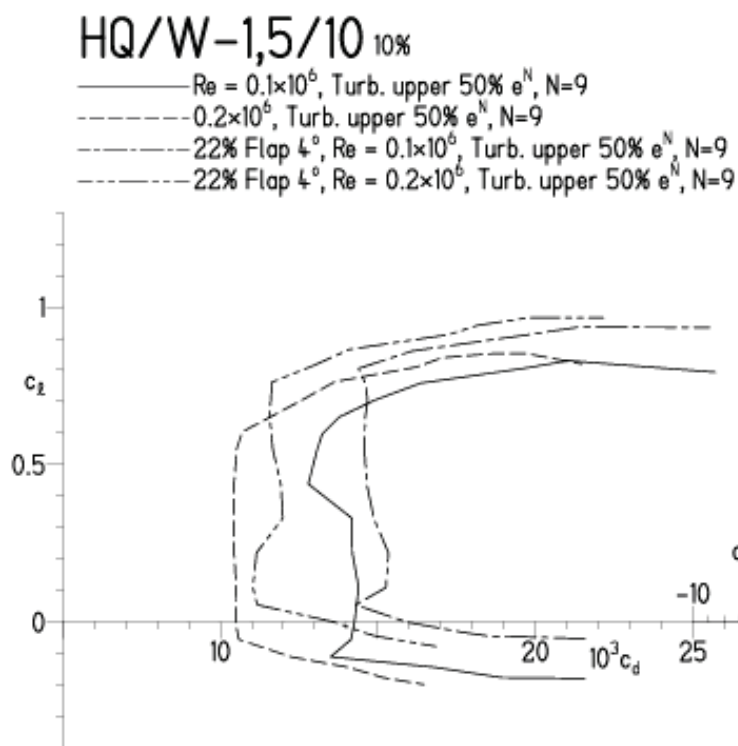
HQ/W-1,5/10, N=9, mit $+4^\circ$ Wölbklappenausschlag, Turbulatoreffekt

(Verbesserungen für niedrige Geschwindigkeiten und Profiltiefen an Flügelenden)

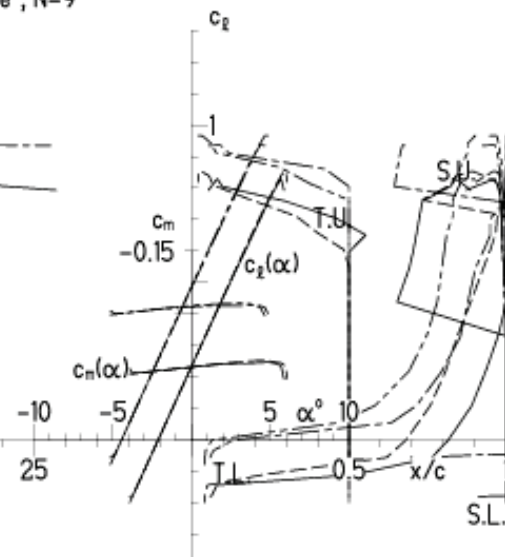
EPPLER 2005 V. 8.5.07 RUN 5.5. 20:12



EPPLER 2005 V. 8.5.07 RUN 5.5.

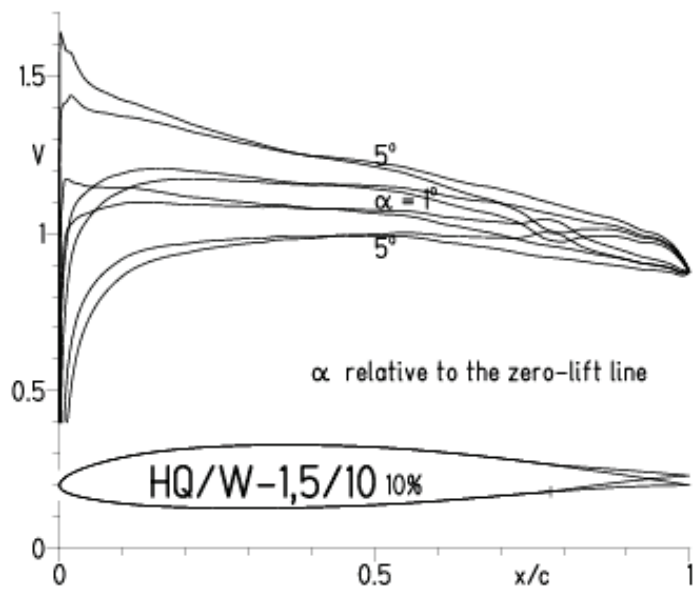


T. boundary layer transition
S. boundary layer separation
U. upper surface
L. lower surface

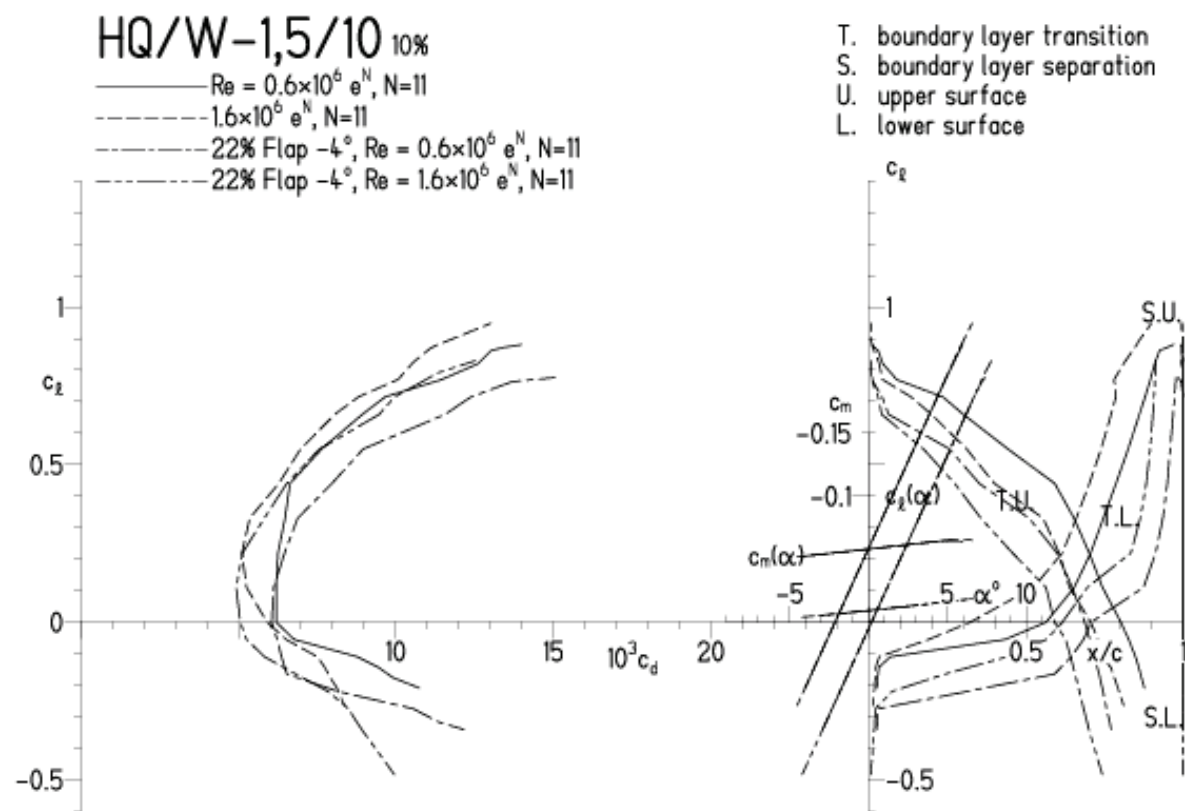


HQ/W-1,5/10, N=11, mit -4° Wölbklappenausschlag
(Segelflugmodelle mit $> 50 \text{ g/dm}^2$ erreichen damit gut über 300 km/h)

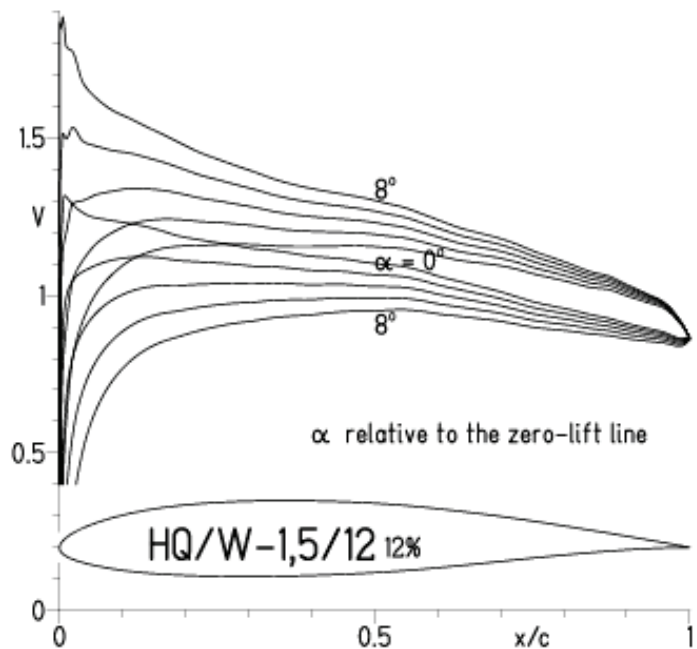
EPPLER 2005 V. 8.5.07 RUN 5.5.II 20:16



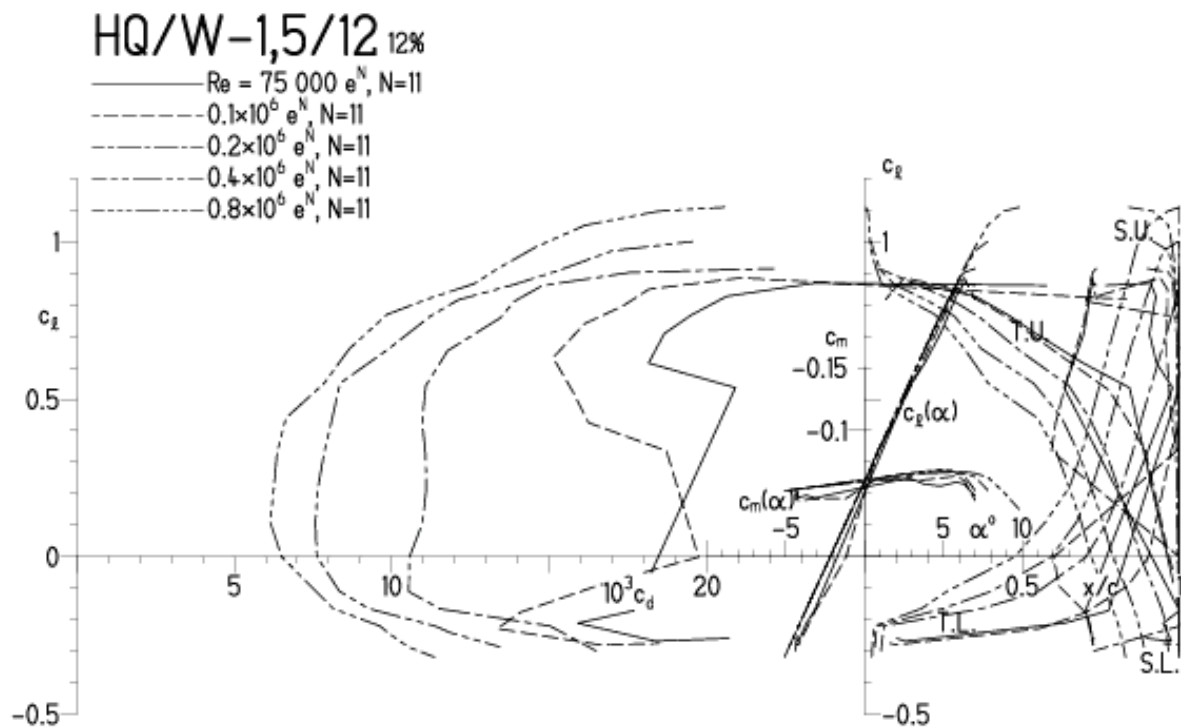
EPPLER 2005 V. 8.5.07 RUN 5.5.II 20:16

HQ/W-1,5/12, N=11

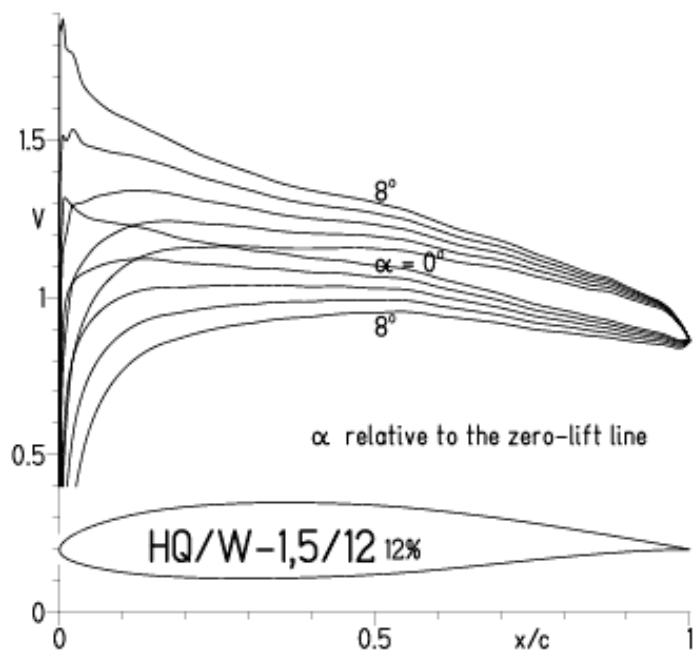
EPPLER 2005 V. 0.5.07 RUN 3.5.II 17:17



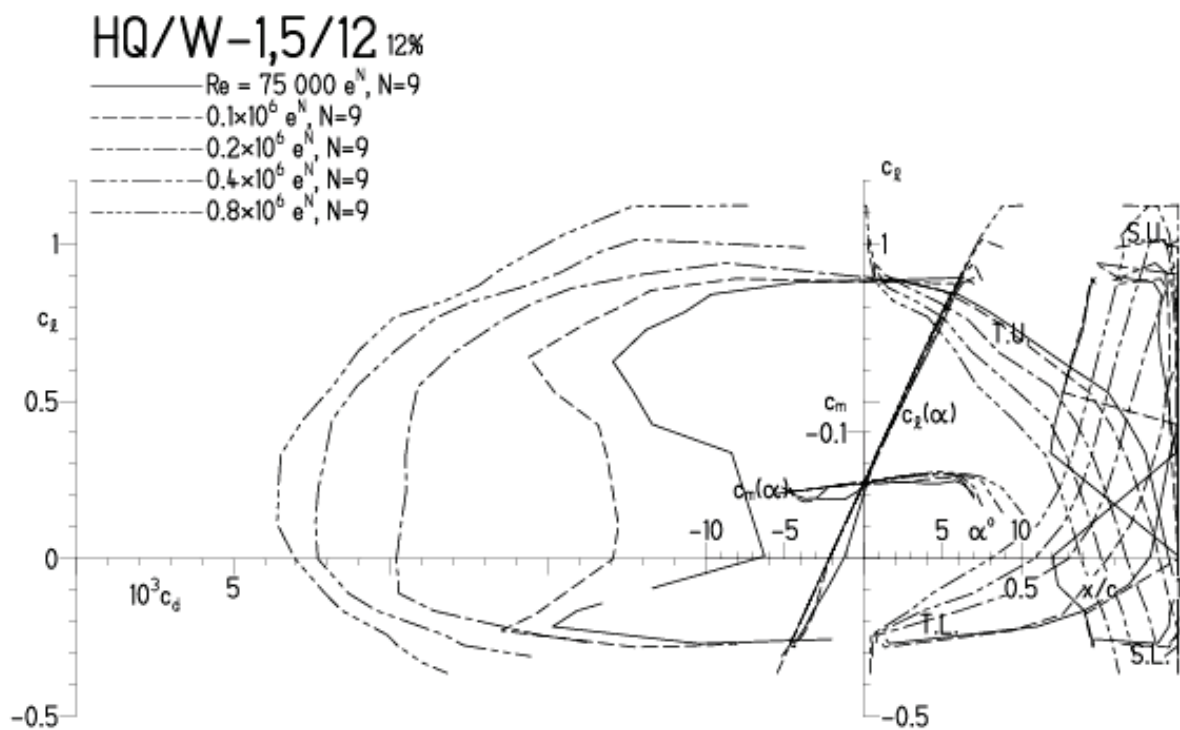
EPPLER 2005 V. 0.5.07 RUN 3.5.II 17:17

HQ/W-1.5/12, N=9

EPPLER 2005 V. 0.5.07 RUN 3.5.II 17:29

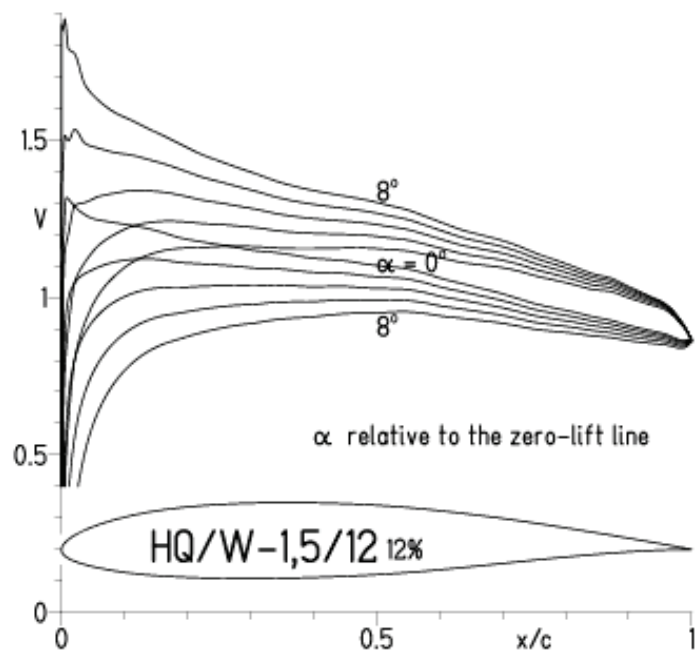


EPPLER 2005 V. 0.5.07 RUN 3.5.II 17:29

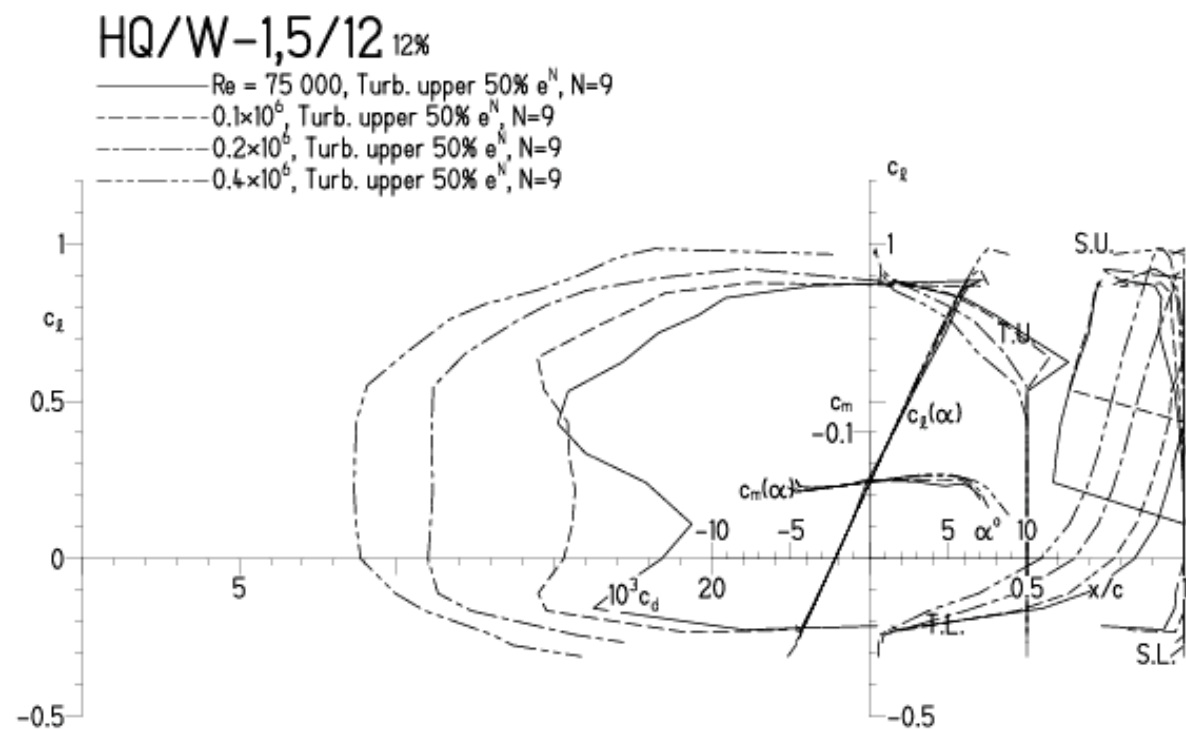


HQ/W-1.5/12, N=9, Turbulatoreffekt (optimal beim Maximum der Wölbung)

EPPLER 2005 V. 0.5.07 RUN 3.5.II 17:33

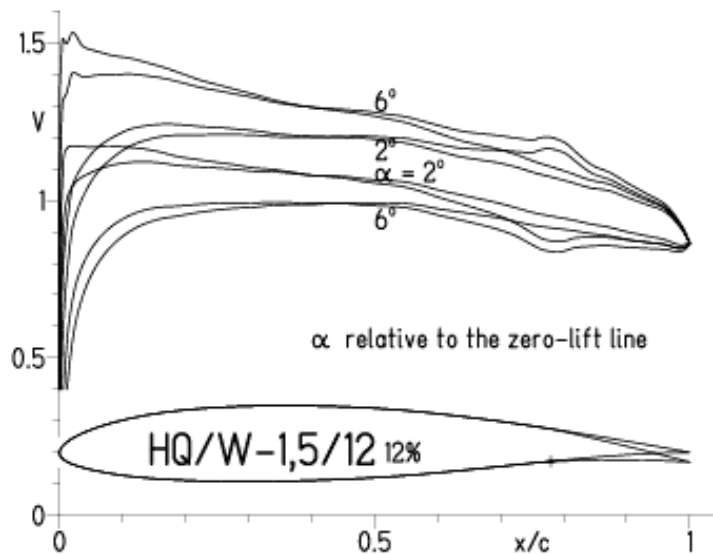


EPPLER 2005 V. 0.5.07 RUN 3.5.II 17:33

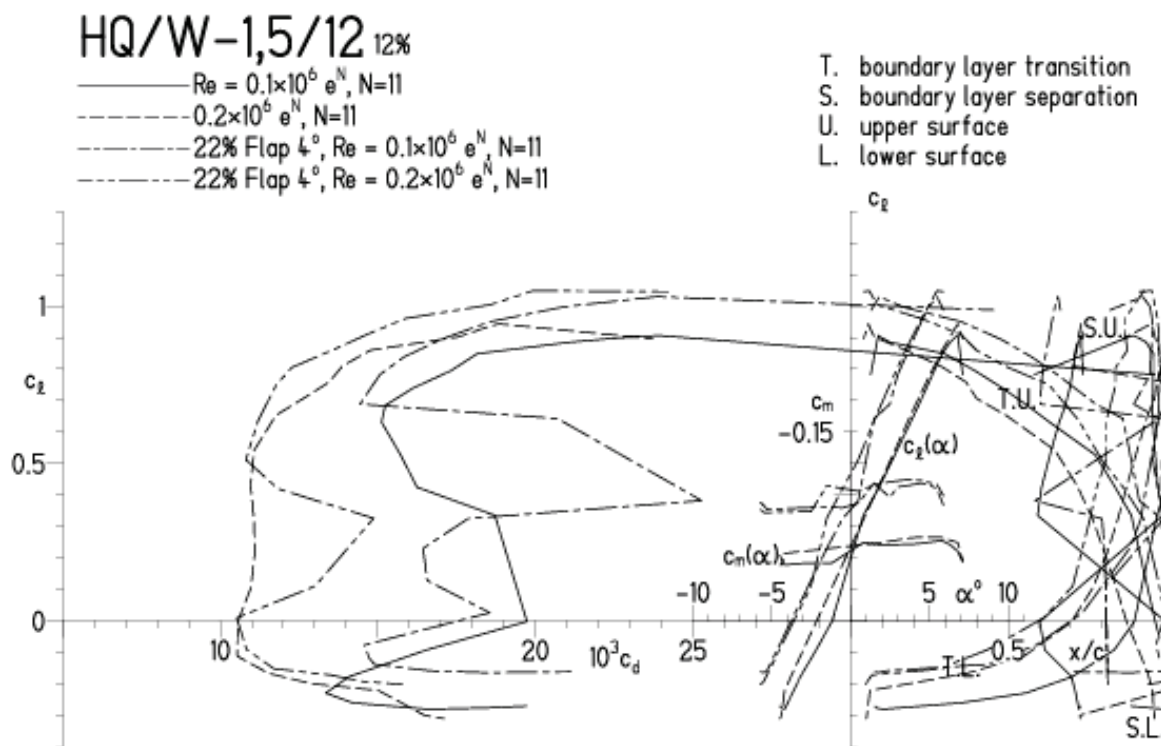


HQ/W-1.5/12, N=11, mit +4° Wölbklappenausschlag

EPPLER 2005 V. 0.5.07 RUN 5.5.II 20:19

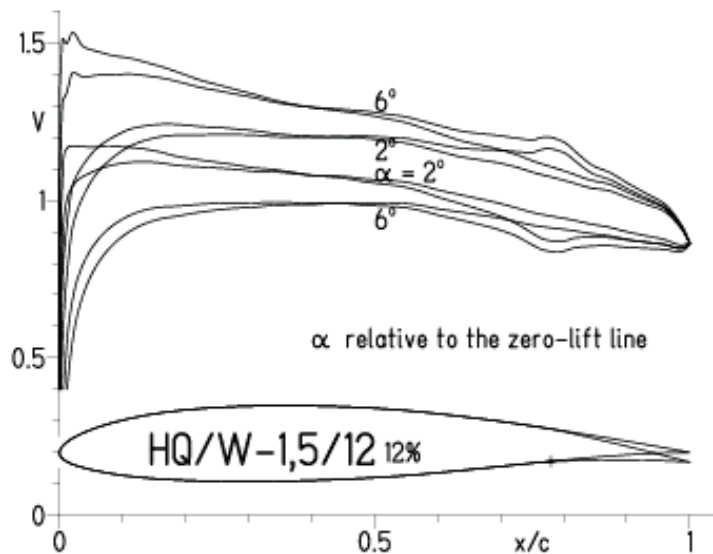


EPPLER 200

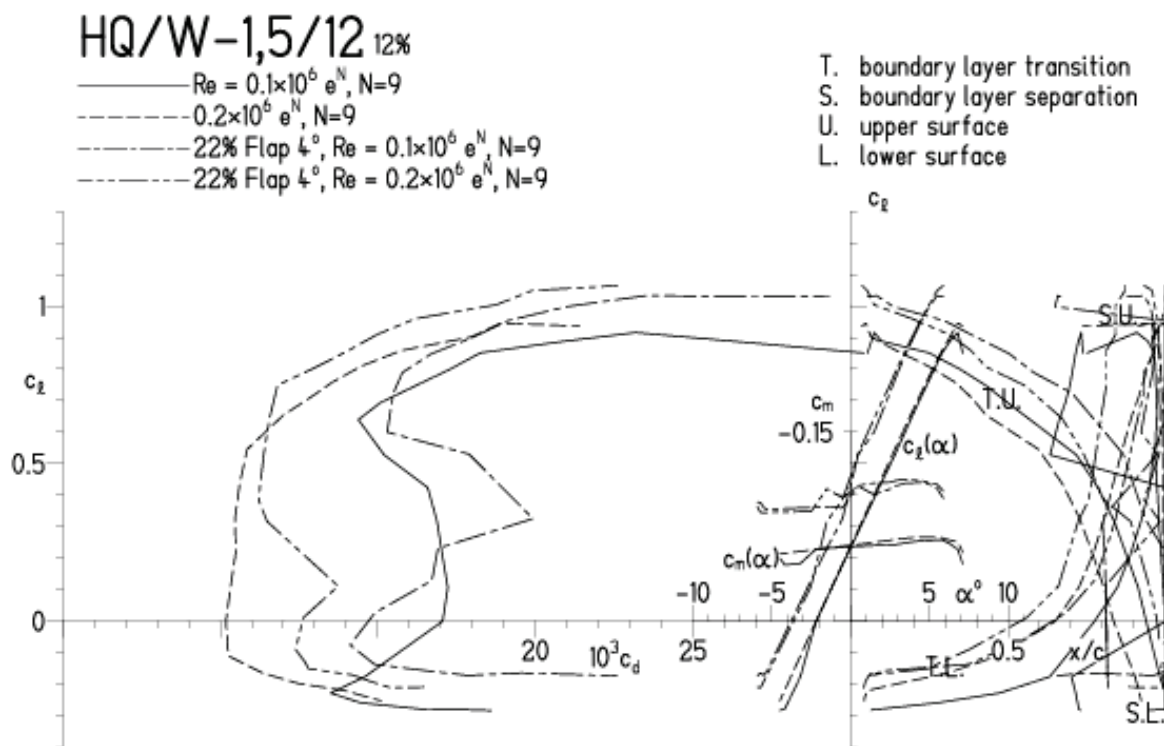


HQ/W-1,5/12, N=9, mit +4° Wölbklappenausschlag

EPPLER 2005 V. 8.5.07 RUN 5.5.II 20:22

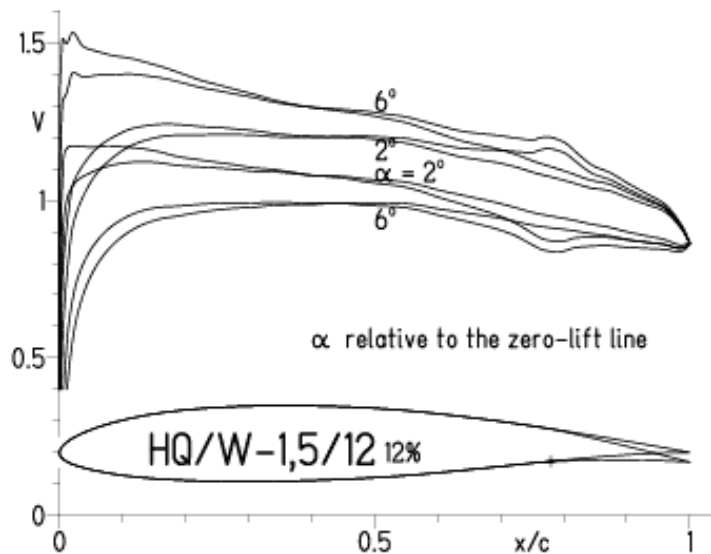


EPPLER 2005 V. 8.

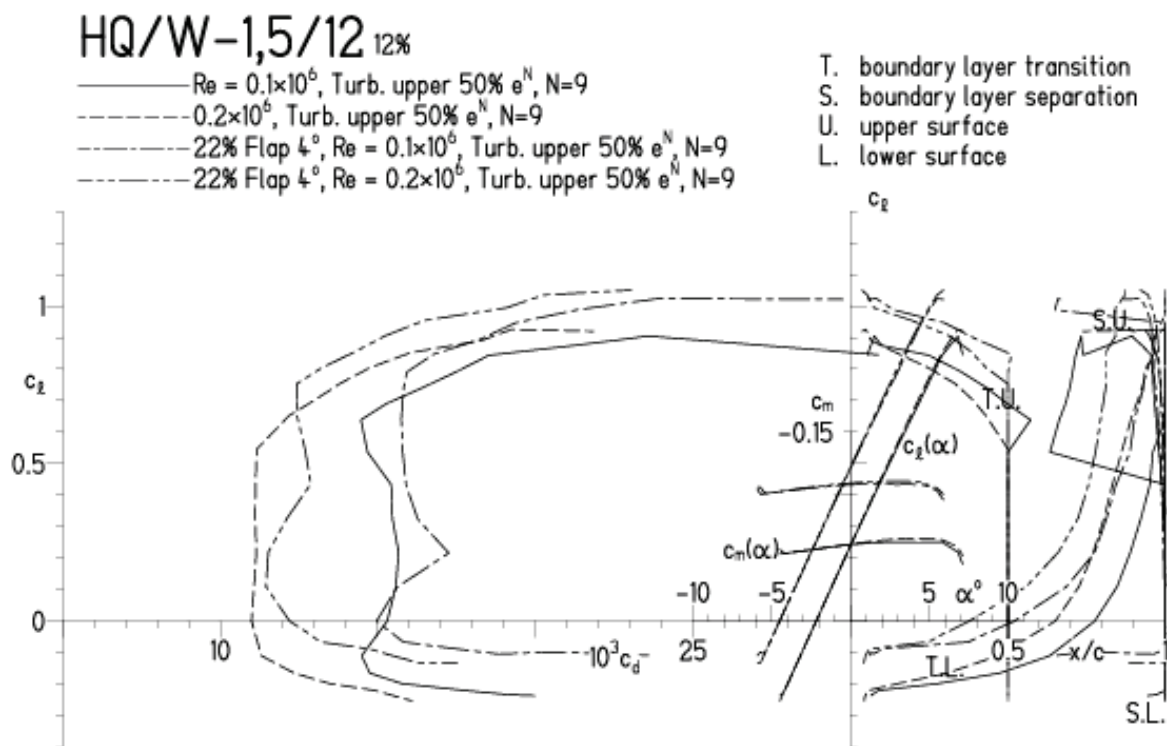


HQ/W-1,5/12, N=9, mit $+4^\circ$ Wölbklappenausschlag, Turbulatoreffekt
(Verbesserungen für niedrige Geschwindigkeiten und Profiltiefen an Flügelenden)

EPPLER 2005 V. 0.5.07 RUN 5.5.II 20:24

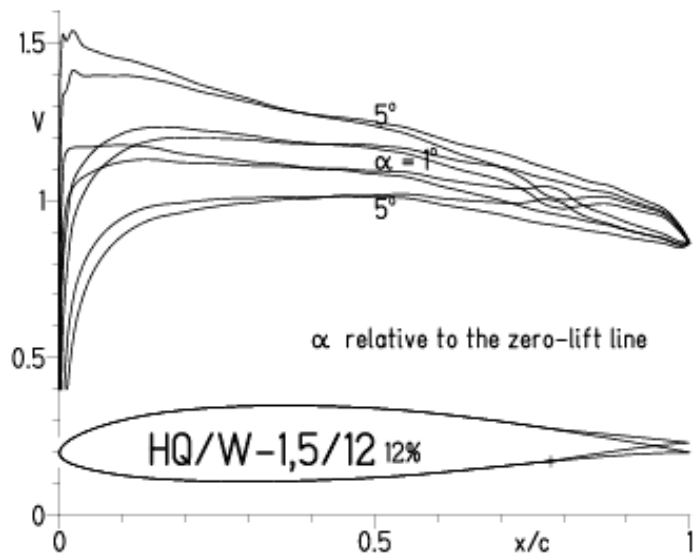


EPPLER 2005 V. 0.5.07 RUN 5.5.II 2

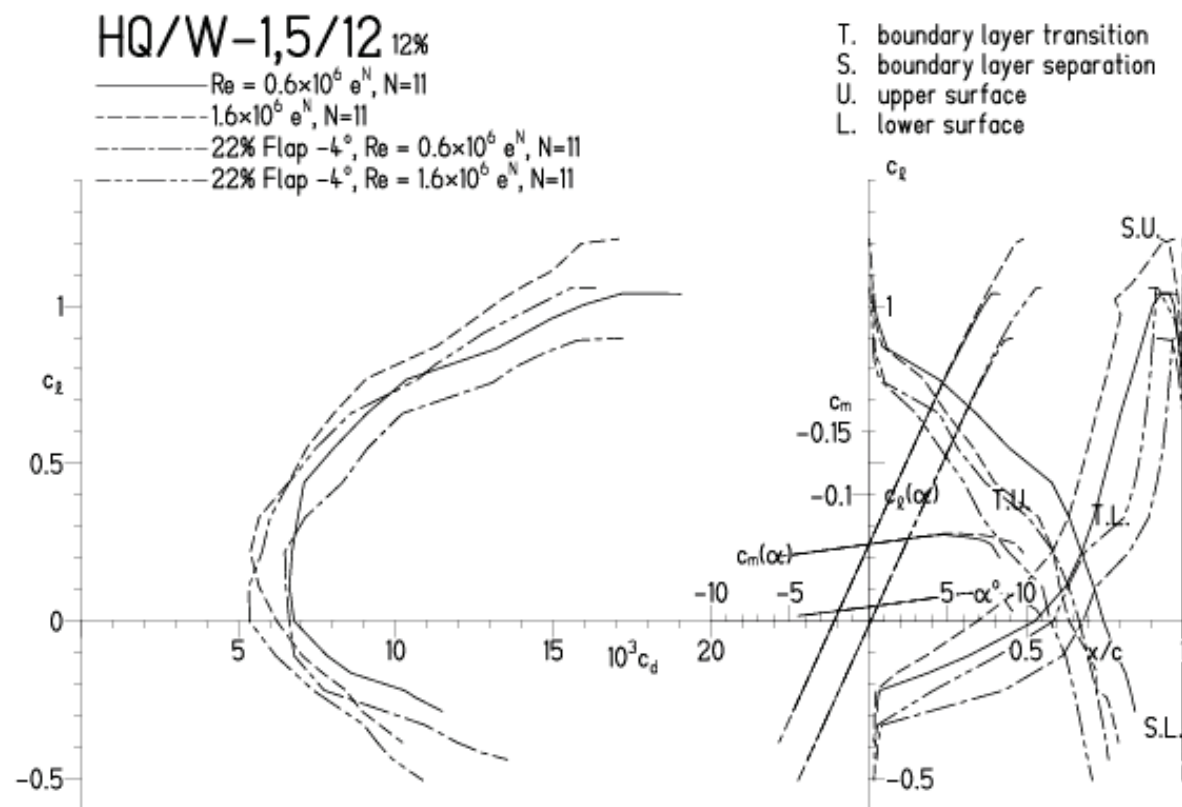


HQ/W-1.5/12, $N=11$, mit -4° Wölbklappenausschlag
(Segelmodelle erreichen damit hohe Endgeschwindigkeiten)

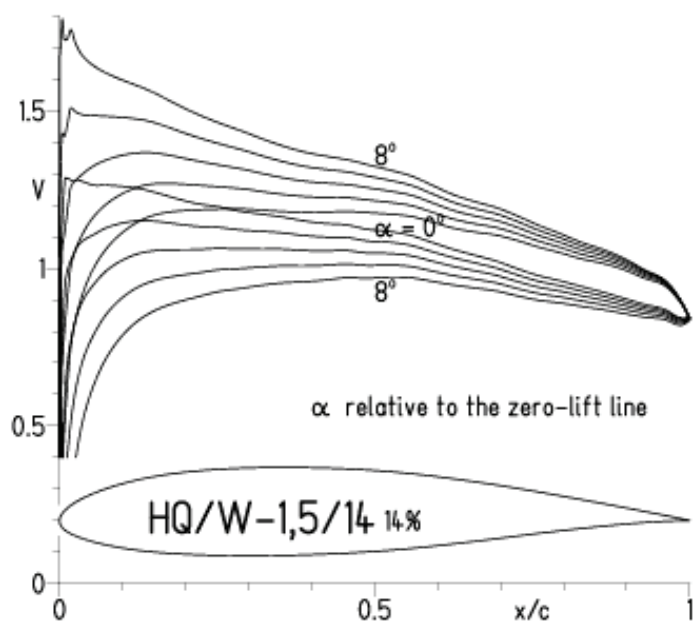
EPPLER 2005 V. 0.5.07 RUN 5.5.II 20:27



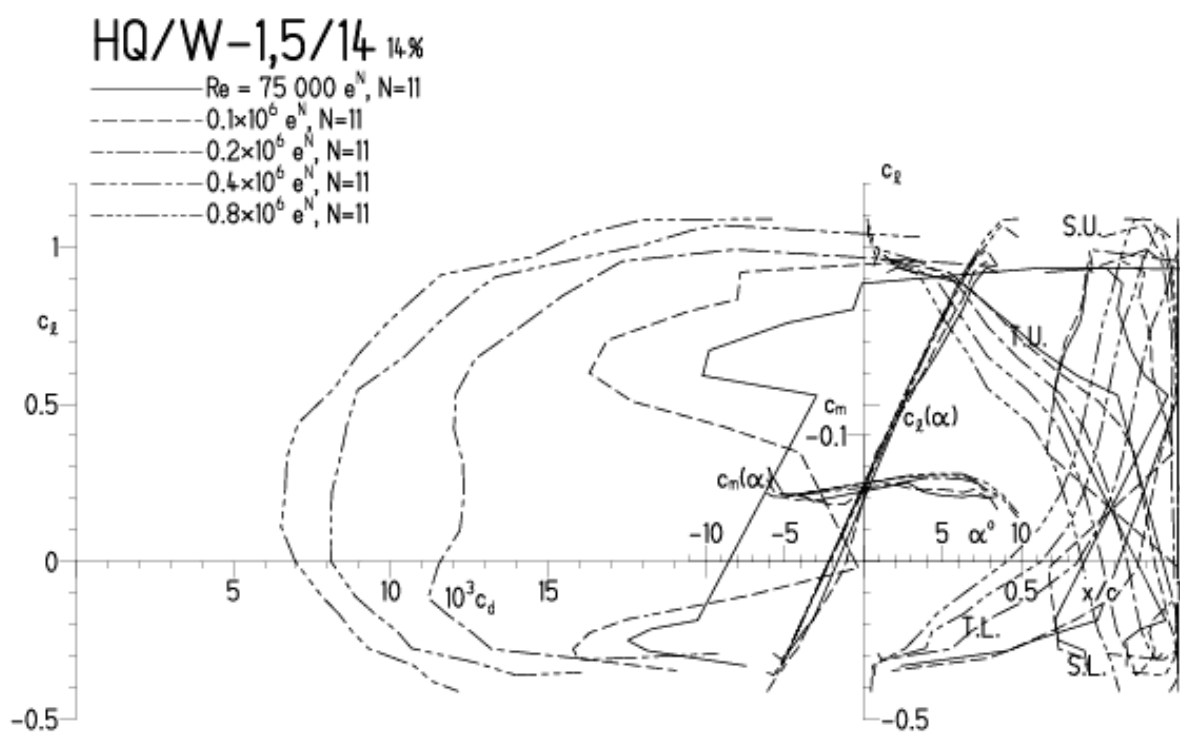
EPPLER 2005 V. 0.5.07 RUN 5.5.II 20:27

HQ/W-1.5/14, N=11

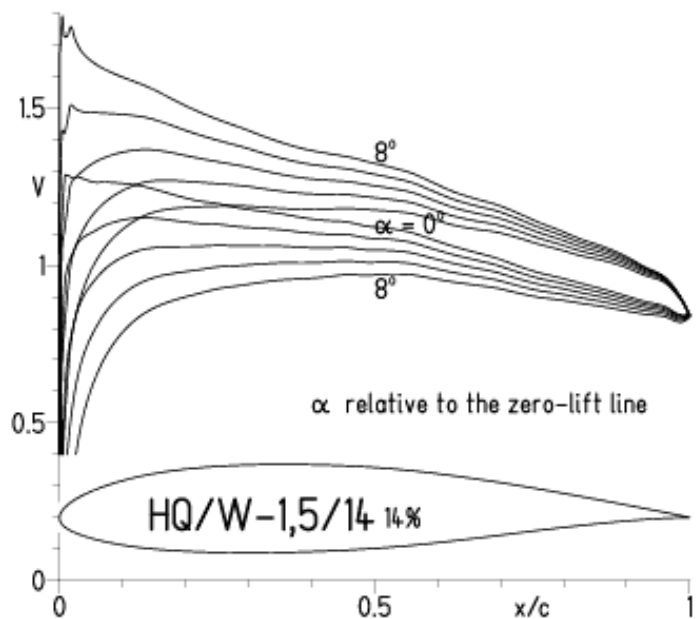
EPPLER 2005 V. 0.5.07 RUN 4.5.11 16:25



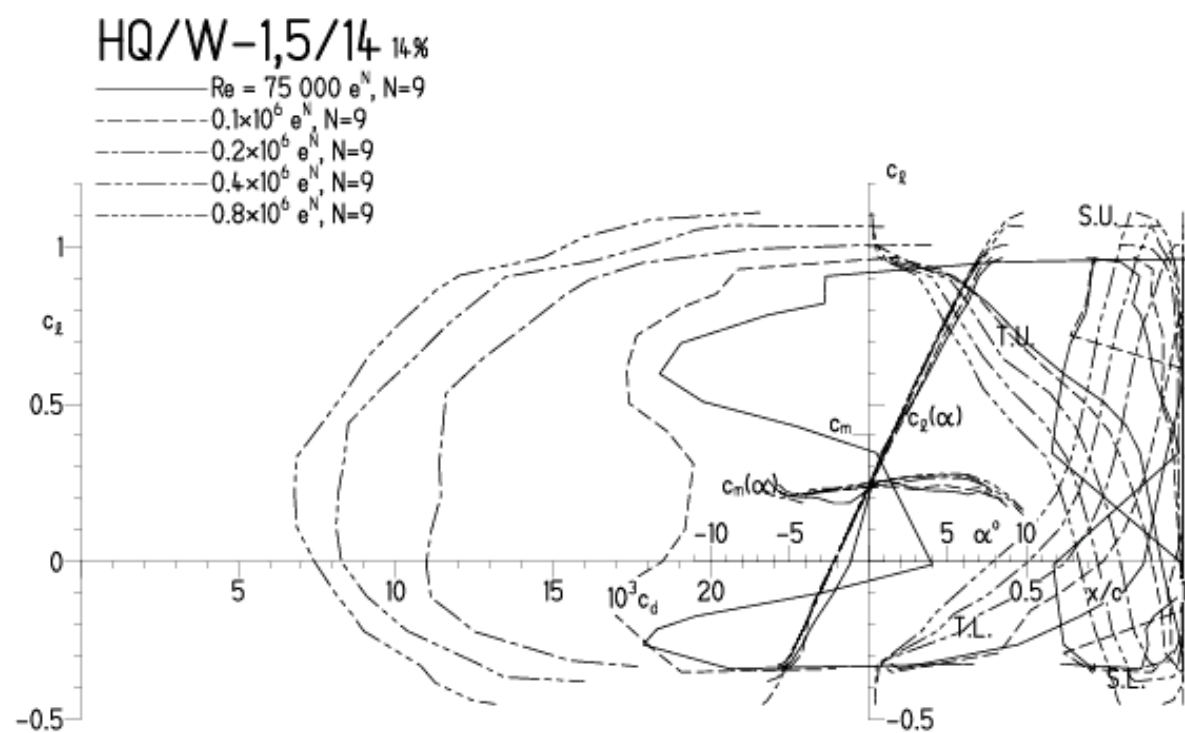
EPPLER 2005 V. 0.5.07 RUN 4.5.11 16:25

HQ/W-1.5/14, N=9

EPPLER 2005 V. 0.5.07 RUN 4.5.11 16:33

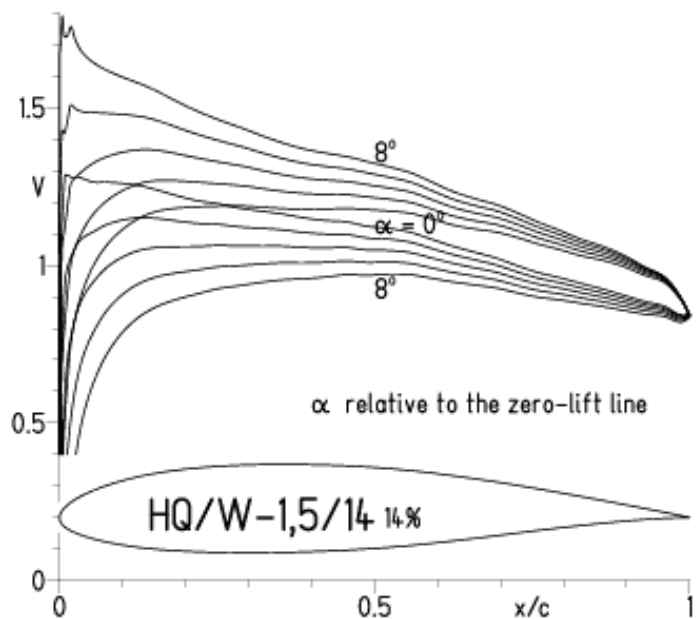


EPPLER 200

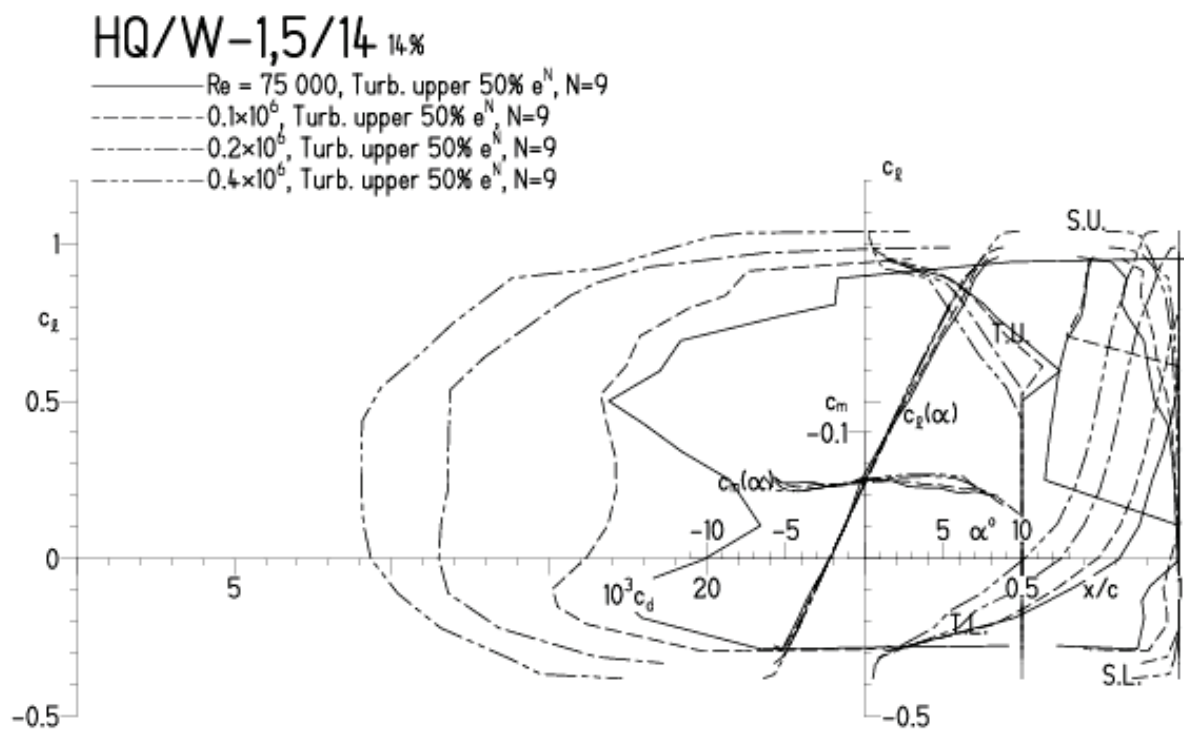


HQ/W-1,5/14, N=9, Turbulatoreffekt (optimal beim Maximum der Wölbung)

EPPLER 2005 V. 0.5.07 RUN 4.5.11 16:36

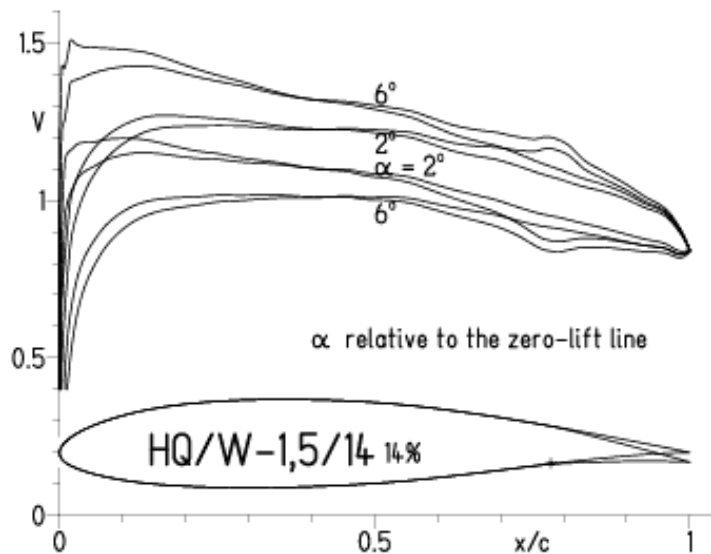


EPPLER 2005 V. 0.5.07 RUN 4.5.11 16:36

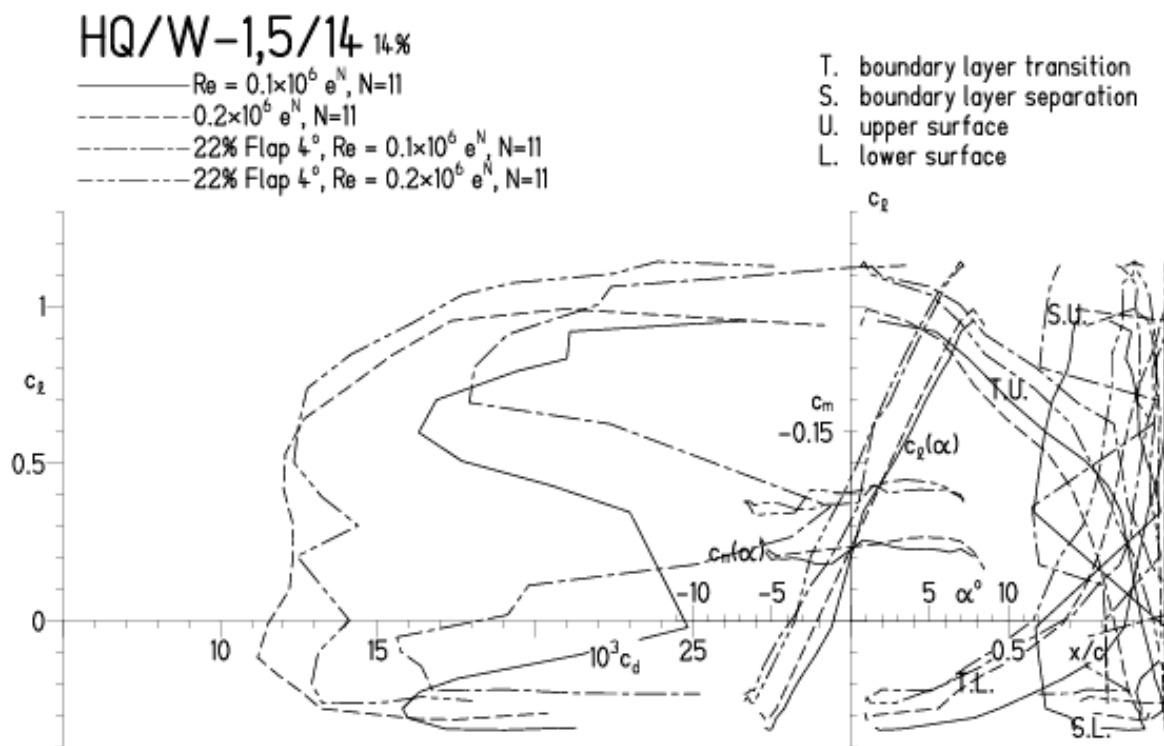


HQ/W-1.5/14, N=11, mit +4° Wölbklappenausschlag

EPPLER 2005 V. 0.5.07 RUN 5.5.11 20:31

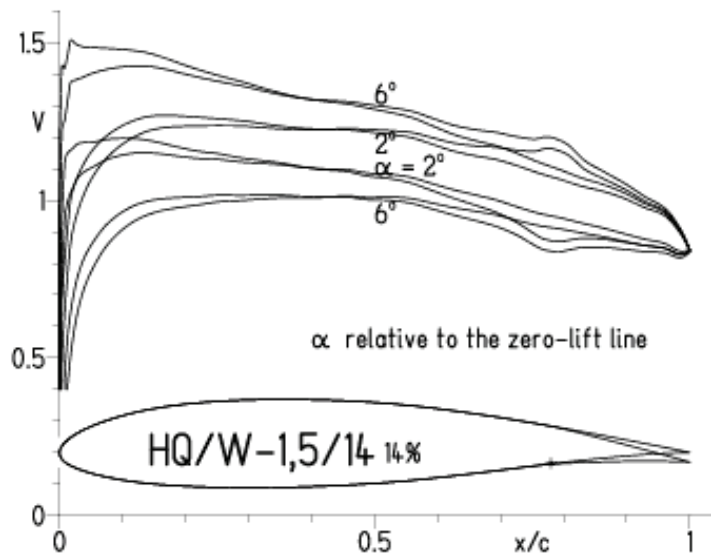


EPPLER 20

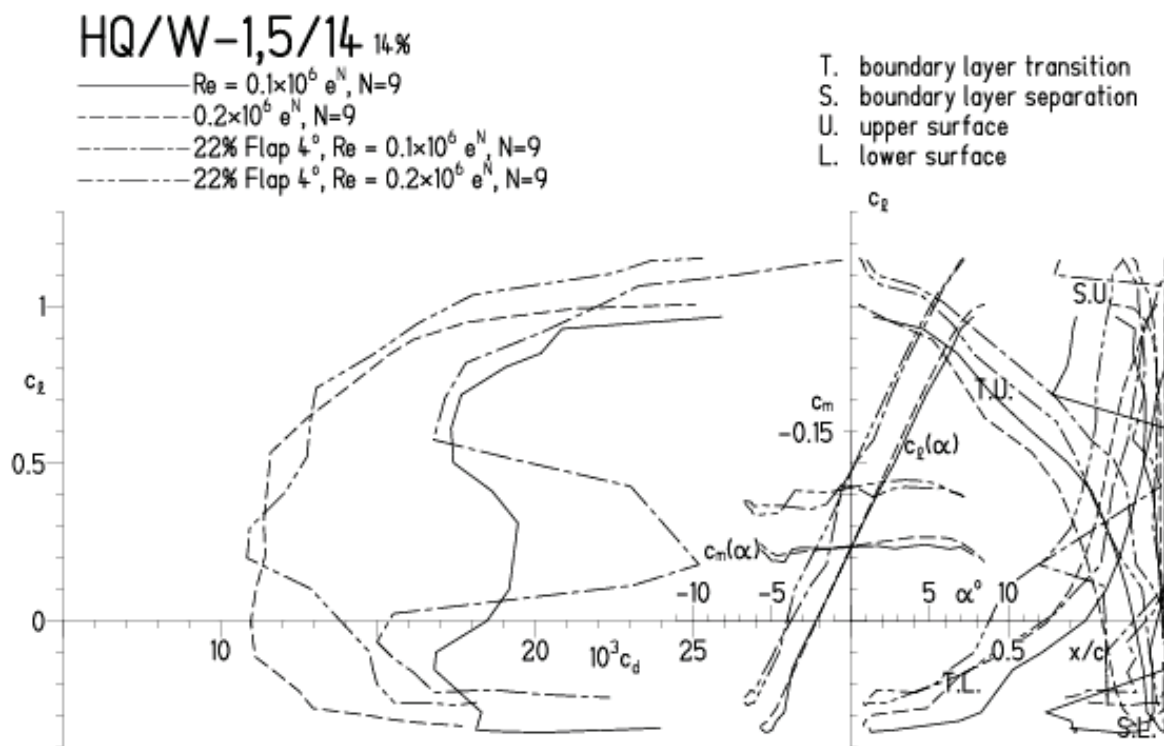


HQ/W-1.5/14, N=9, mit +4° Wölbklappenausschlag

EPPLER 2005 V. 0.5.07 RUN 5.5.11 20:34

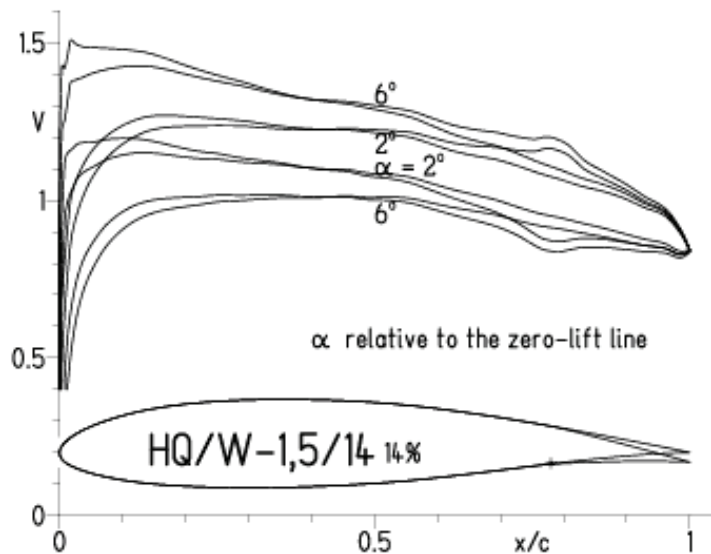


EPPLER 20

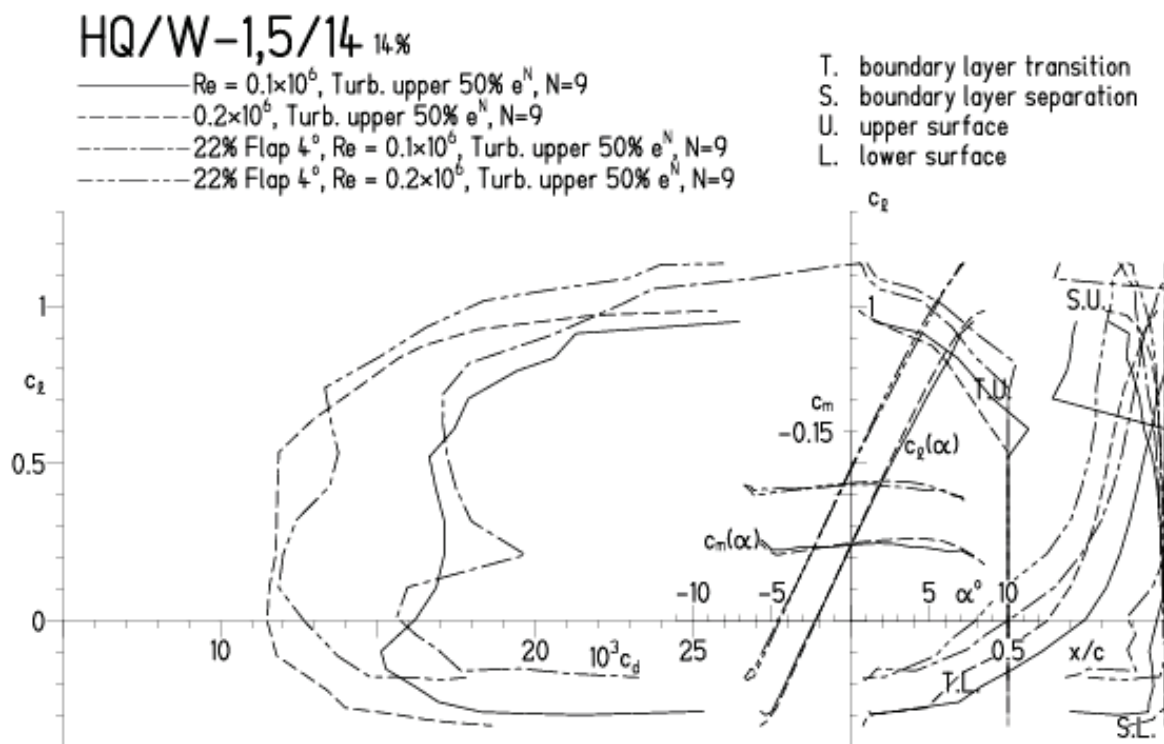


HQ/W-1.5/14, N=9, mit +4° Wölbklappenausschlag, Turbulatoreffekt
 (Verbesserungen für niedrige Geschwindigkeiten und Profiltiefen an Flügelenden)

EPPLER 2005 V. 0.5.07 RUN 5.5.II 20:36

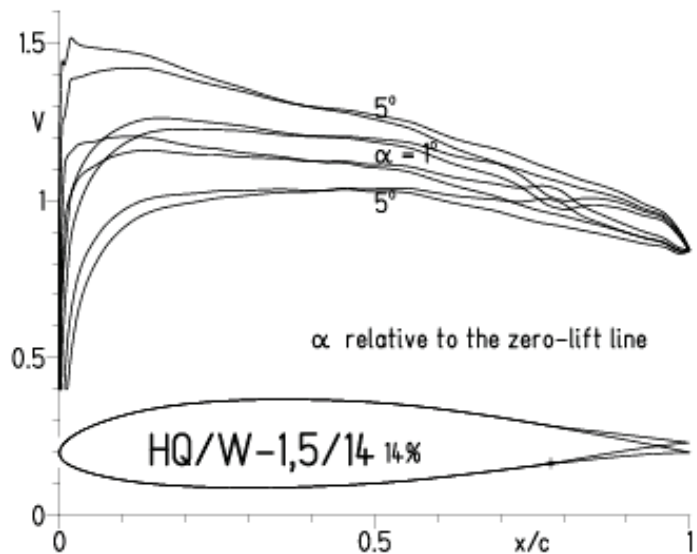


EPPLER 2005 V. 0.5.07 RUN 5.5.II 20:36



HQ/W-1.5/14, N=11, mit -4° Wölbklappenausschlag
(Segelmodelle erreichen damit hohe Endgeschwindigkeiten)

EPPLER 2005 V. 0.5.07 RUN 5.5.11 20:40



EPPLER 2005 V. 0.5.07 RUN 5.5.11 20:40

